

Referências Bibliográficas

- ANDREWS, R.; HARELAND, G.; NYGAARD, R.; ENGLER, T.; MUNRO, H.; VIRGINILLO, B. **Methods of Using Logs to Quantify Drillability.** Paper SPE 106571 presented at the 2007 SPE Rocky Mountain Oil & Gas Technology Symposium, USA, 16–18 April, 2007.
- ARMENTA, M. **Identifying Inefficient Drilling Conditions Using Drilling-Specific Energy.** Paper SPE 116667 presented at the SPE Annual Technical Conference and Exhibition - USA, 21–24 September, 2008.
- BOURGOYNE, A. T.; MILHEIM, K. K.; CHENEVERT, M. E.; YOUNG, F. S. **Applied drilling engineering,** Society of Petroleum Engineers, USA, 1991.
- CAICEDO, H.U.; CALHOUN W. M.; EWY, R. T. **Unique ROP Predictor Using Bit-specific Coefficient of Sliding Friction and Mechanical Efficiency as a Function of Confined Compressive Strength Impacts Drilling Performance.** Paper SPE / IADC 92576 presented at the SPE/IADC Drilling Conference, The Netherlands, 23-25 February, 2005.
- CHANDONG, C. **Empirical Rock Strength Logging in Boreholes Penetrating Sedimentary Formations.** Geophysical Exploration, Vol. 7, No. 3, p. 174-183, 2004.
- D'ELIA, C. P. **Análise e Retro análise do Comportamento de Fluência em Escavações Subterrâneas pelo Método dos Elementos Finitos.** Dissertação de Mestrado, COPPE/Universidade Federal do Rio de Janeiro, 1991.
- Drill Bit Classifier.** Special Supplement to World Oil, Setembro, 2009.

DUPRIEST, F.E.; KOEDERITZ, W.L. **Maximizing Drilling Rates with Real-Time Surveillance of Mechanical Specific Energy.** Paper SPE 921940 presented at the SPE/IADC Drilling Conference, The Netherlands, 23-25 February, 2005.

HOLSTER, J. L.; KIPP, J. R. **Effect of Bit Hydraulic Horsepower on the Drilling Rate of a Polycrystalline Diamond Compact Bit.** Paper SPE 11949-PA presented at the Journal Of Petroleum Technology, december, 1984.

HORSRUD, P. **Estimating Mechanical Properties of Shale from Empirical Correlations.** Paper SPE 56017 presented at the June 2001 SPE Drilling & Completion, 2001.

ISBELL, M.; DOSTER, M.; DUERHOLT, R. **Optimizing PDC Bits for Drilling in Salt and Anhydrite.** Apresentação Interna da Hughes Christensen Company, Abril, 2001.

JEREMIC, M. L. **Rock Mechanics in Salt Mining.** Rotterdam,The Netherlands: A. A. Balkema, 1994.

JUDZIS, A.; BLAND, R. G.; CURRY, D. A.; BLACK, A. D.; ROBERTSON, H. A.; MEINERS, M. J.; GRANT, T. **Optimization of Deep Drilling Performance - Benchmark Testing drives ROP Improvements for bits and Drilling Fluids.** Paper SPE 105885-PA presented at the March 2009 SPE/IADC Drilling & Completion, 2009.

JINYU, J. **Research on the Method of Hook Height Measurement Based on Kingview.** International Forum on Computer Science-Technology and Applications, 2009.

LEDGERWOOD III, L. W. R. **PFC Modeling of Rock Cutting Under High Pressure Conditions.** Proceedings of the 1st Canada-US Rock Mechanics Symposium - Rock Mechanics Meeting Society's Challenges and Demands. Vol.1; p.511-518, 2007.

LIANG, W. G.; XU, S. G.; ZHAO, Y. S. **Experimental Study of Temperature Effects on Physical and Mechanical Characteristics of Salt Rock.** Rock Mechanics and Rock Engineering, 39 (5), p.469–482, 2006.

MEDEIROS, F. **Análise do comportamento de colunas de revestimento frente à movimentação do sal em poços de petróleo.** Dissertação de Mestrado, PUC-Rio, 1999.

MOREL, B.; HAFLE, M.; THOMSON, I.; UBARU, C.; RADFORD, S.; **Proper Bit and Underreamer Synchronization Concept Delivered Excellent Performance in GoM Deepwater Well.** Offshore Technology Conference, Houston, Texas, USA, 3–6 May, 2010.

OLEA, I. V.; SHIRKAVAND, F.; KUSTAMSI, A.; HARELAND, G. **Correlation of Sonic Logs Values to Strength in Salt.** The 42nd US Rock Mechanics Symposium and 2nd U.S.-Canada Rock Mechanics Symposium, San Francisco, 2008.

ONYIA, E. C. **Relationships Between Formation Strength, Drilling Strength, and Electric Log Properties.** Paper SPE 18166 presented at the 63rd Annual Technical Conference and Exhibition of the Society of Petroleum Engineers, USA, 1988.

PESSIER, R.C.; FEAR, M.J.: **Quantifying Common Drilling Problems with Mechanical Specific Energy and Bit-Specific Coefficient of Sliding Friction.** Paper SPE 24584 presented at 67th Annual Conference and Exhibition of the Society of Petroleum Engineers, USA, October 4-7, 1992.

PLÁCIDO, J. C.; PINHO, R. **Brocas de Perfuração de Poços de Petróleo.** Apostila de aula da disciplina de Perfuração e Completação, PUC-RIO, 2009.

RAFATIAN, N.; MISKA, S.; LEDGERWOOD III, L. W.; AHMED, R.; MENGJIAO, Y.; TAKACH, N. **Experimental Study of MSE of a Single PDC Cutter Under Simulated Pressurized Conditions.** Paper SPE 119302 presented

at the SPE/IADC Drilling Conference, Amsterdam, The Netherlands, 17–19 Março, 2009.

ROCHA, L. A. S.; AZUAGA, D.; ANDRADE, R.; VIEIRA, J. L. B.; SANTOS, O. L. A. **Perfuração Direcional**. 2. Ed. Rio de Janeiro, Interciência: PETROBRAS, 2008.

ROCHA, L. A. S.; AZEVEDO, C. T. **Geopressões e Assentamento de Colunas de Revestimentos**. Rio de Janeiro, Interciência: PETROBRAS, 2009.

SCHLUMBERGER. Oilfield Glossary. Disponível em:
www.glossary.oilfield.slb.com/Display.cfm?Term=hook%20load. 21/12/2010.

SCHLUMBERGER. Oilfield Glossary. Disponível
 em:www.glossary.oilfield.slb.com/Display.cfm?Term=true%20vertical%20depth

SKEMPTON, A.W. **Pore Pressure Coefficients A and B**. Geotechnique, Volume 4, Issue 4, pag.143 –147, 1954.

TAVARES, R. M. **Interpretação e Análise de Dados de Perfuração em Poços de Petróleo**. Dissertação de Mestrado Apresentada à Comissão de Pós-Graduação Interdisciplinar de Engenharia de Petróleo, Universidade Estadual de Campinas, 2006.

TEALE, R. **The Concept of Specific Energy in Rock Drilling**. International Journal of Rock Mechanics and Mining Science, Vol. 2, pp. 57-73, 1965.

TEIXEIRA, W.; TOLEDO, M. C. M.; FAIRCHILD, T. R.; TAIOLI, F. **Decifrando a Terra**. São Paulo: Oficina de Textos, 2000, 558p.

TIBBITTS, G. A.; SANDSTROM, J. L.; BLACK, A. D.; GREEN, S. J. **Effect of Bit Hydraulics on Full-Scale Laboratory Drilled Shale**. Paper SPE 8439 presented at the Journal of Petroleum Technology, pp. 1180-1188, 1981.

THOMAS, J. E. (Org.) **Fundamentos de Engenharia de Petróleo**. 2. ed. Rio de Janeiro, Interciênciam: PETROBRAS, 2004.

THOMSON, I. J.; MATHUR, R. **The Use of Downhole Drilling Parameters Combined with Surface and Downhole Mechanical Specific Energy Data Helped Identify Under-Reamer Dysfunctions in GoM Deepwater Projects**. SPE, Deepwater Drilling and Completions Conference, Texas, USA, 5-6 October, 2010.

WAMSLEY, W. H.; FORD, R. **Introduction to Roller-Cone and Polycrystalline Diamond Drill Bits**. Petroleum Engineering Handbook, Volume II. 2006.

WAUGHMAN, R. J.; KENNER, J. V.; MOORE, R. A. **Real-Time Specific Energy Monitoring Reveals Drilling Inefficiency and Enhances the Understanding of When to Pull Worn PDC Bits**. IADC/SPE Drilling Conference, Dallas, Texas, 26–28 Fevereiro, 2002.

Apêndice

A.1. Gráficos Representativos de Perfis

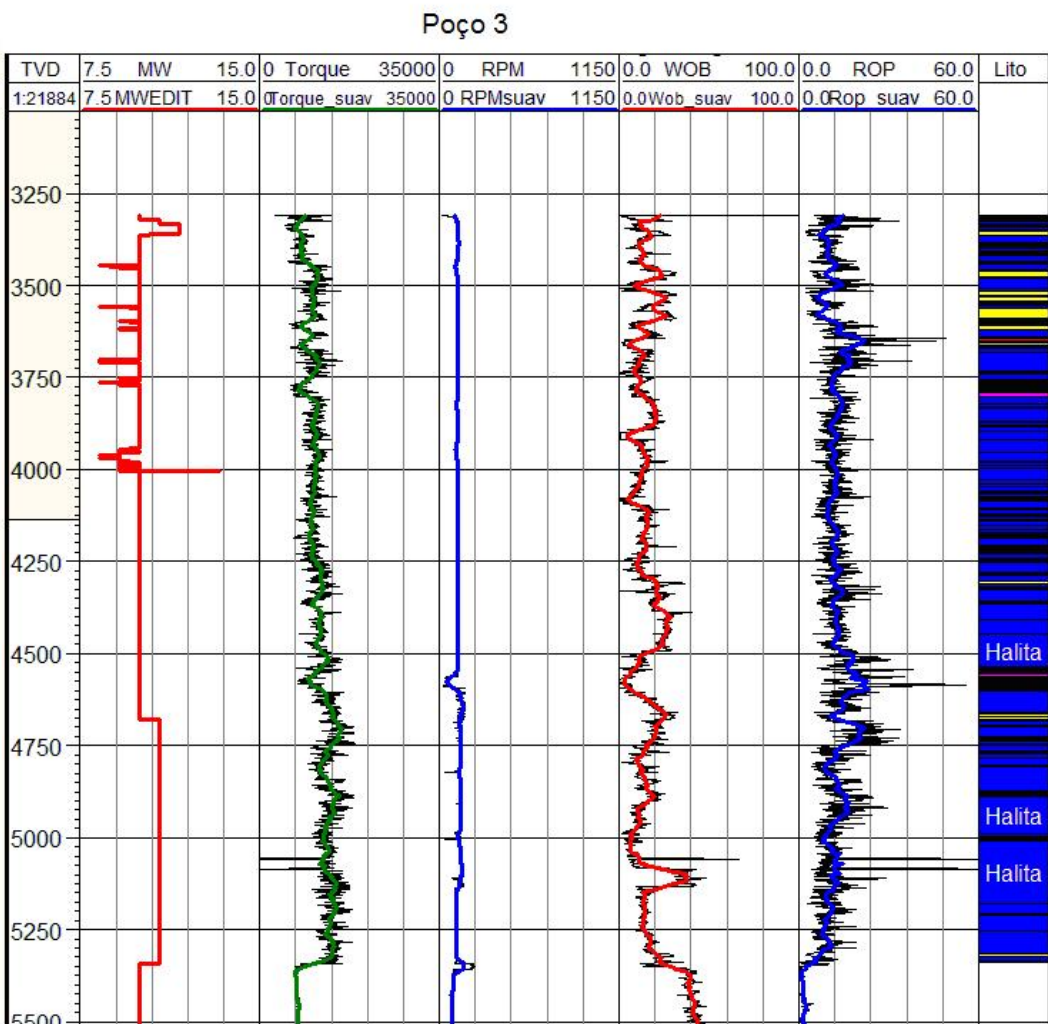


Figura A1 - Perfis do Poço 3.

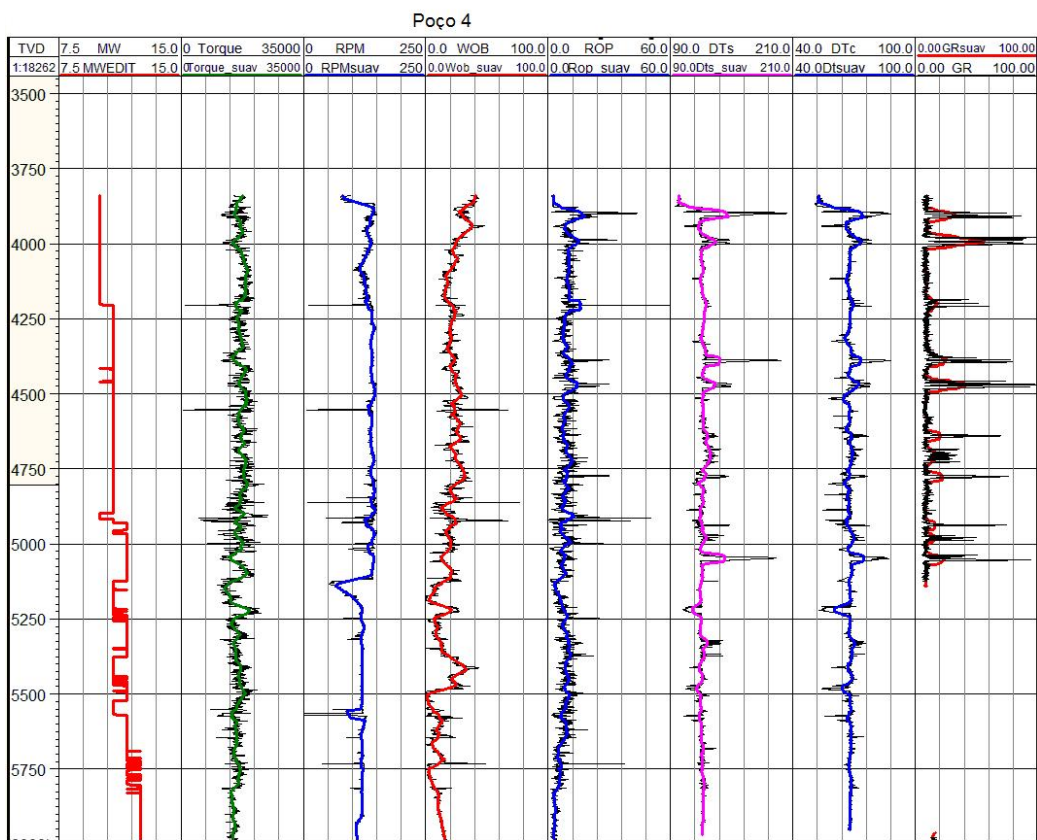


Figura A2 - Perfis do Poço 4.

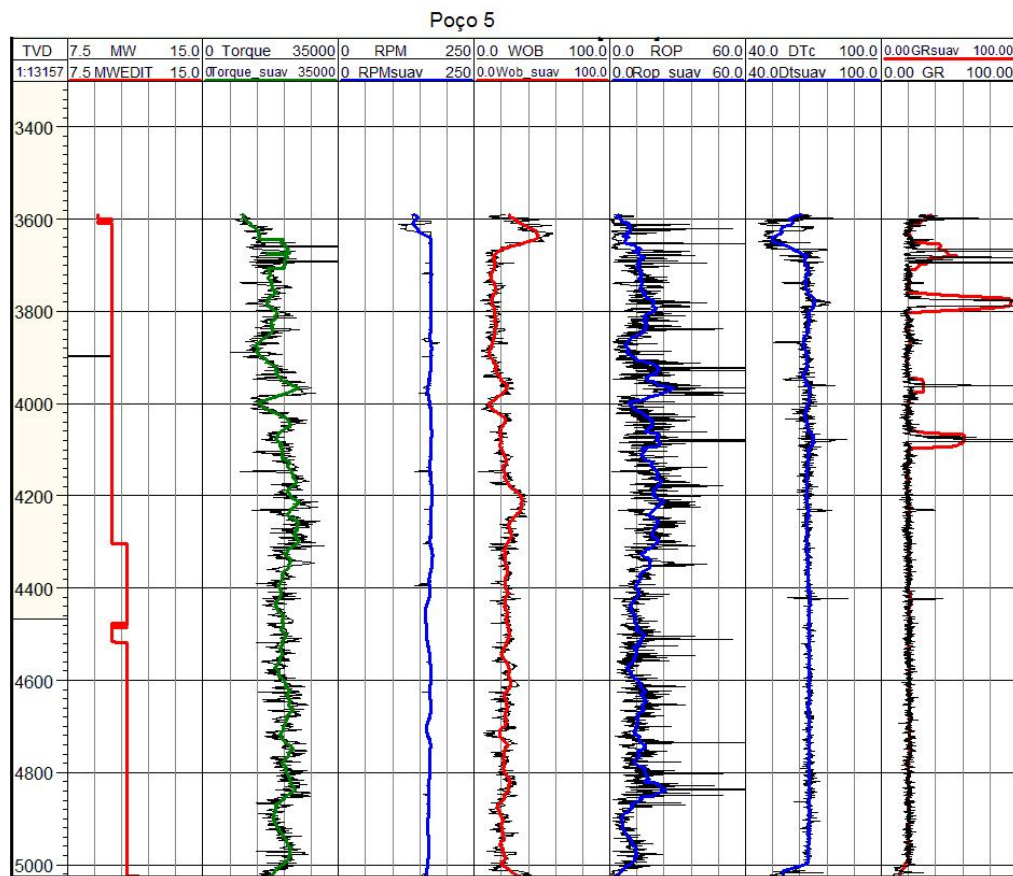


Figura A3 - Perfis do Poço 5.

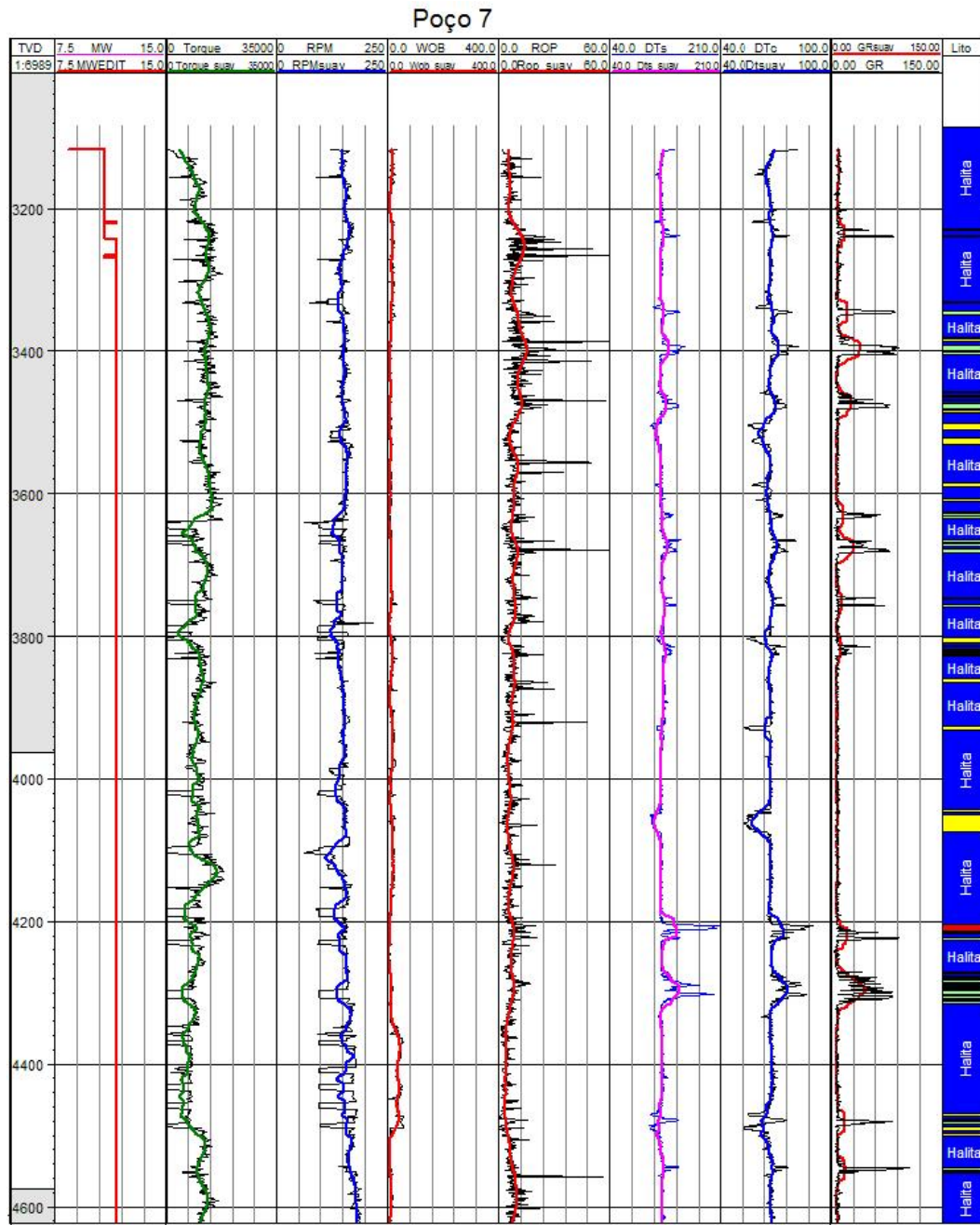


Figura A4: perfis do Poço 7.

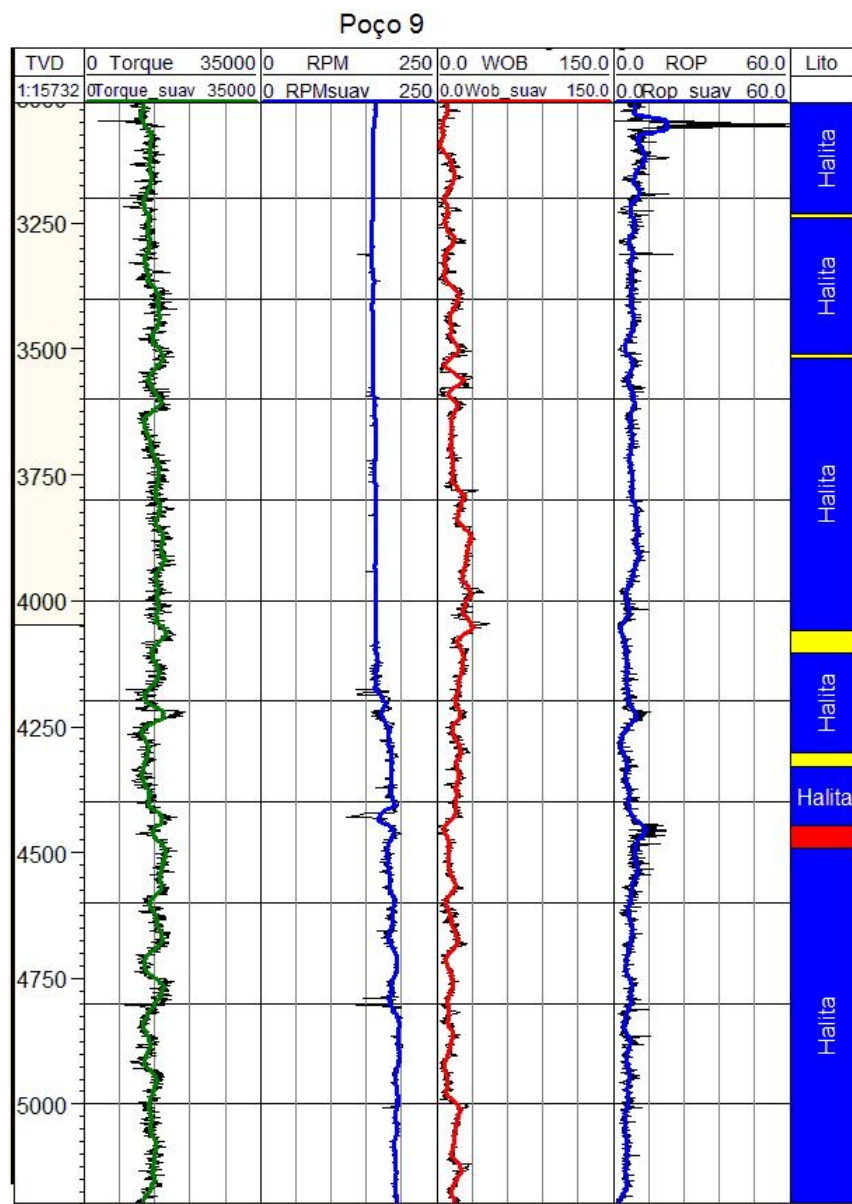


Figura A5: perfis do Poço 9.

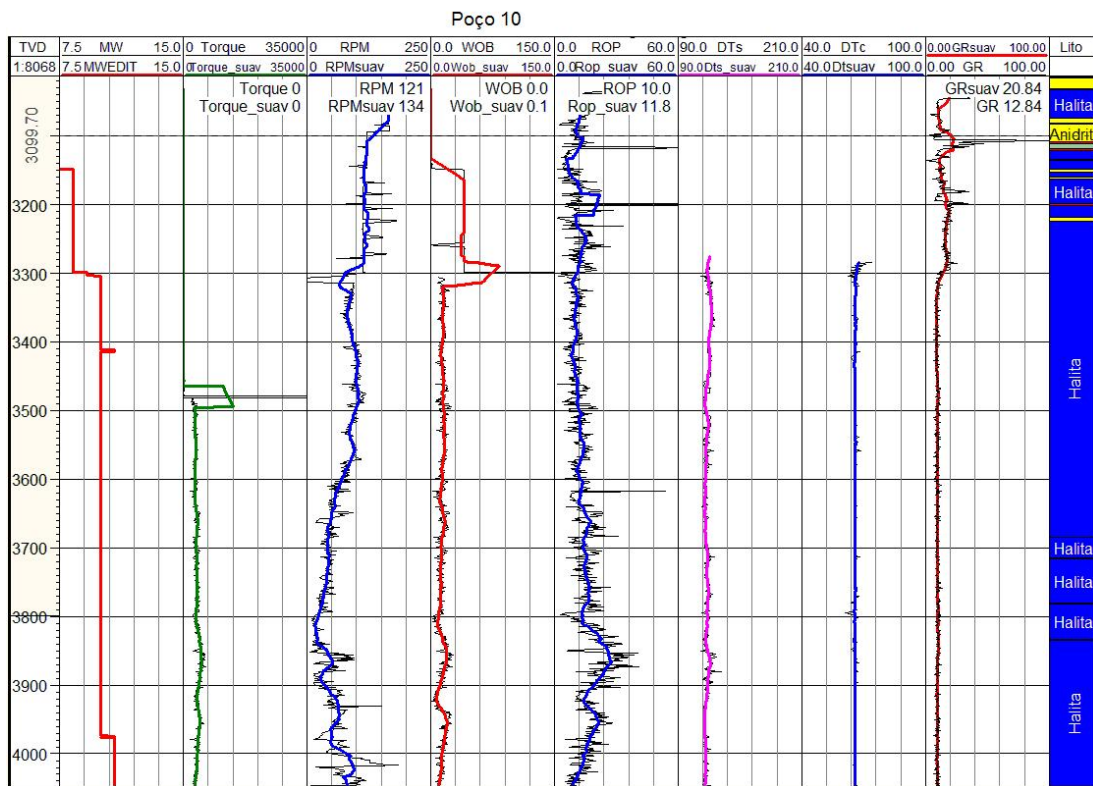


Figura A6: perfis do Poço10.

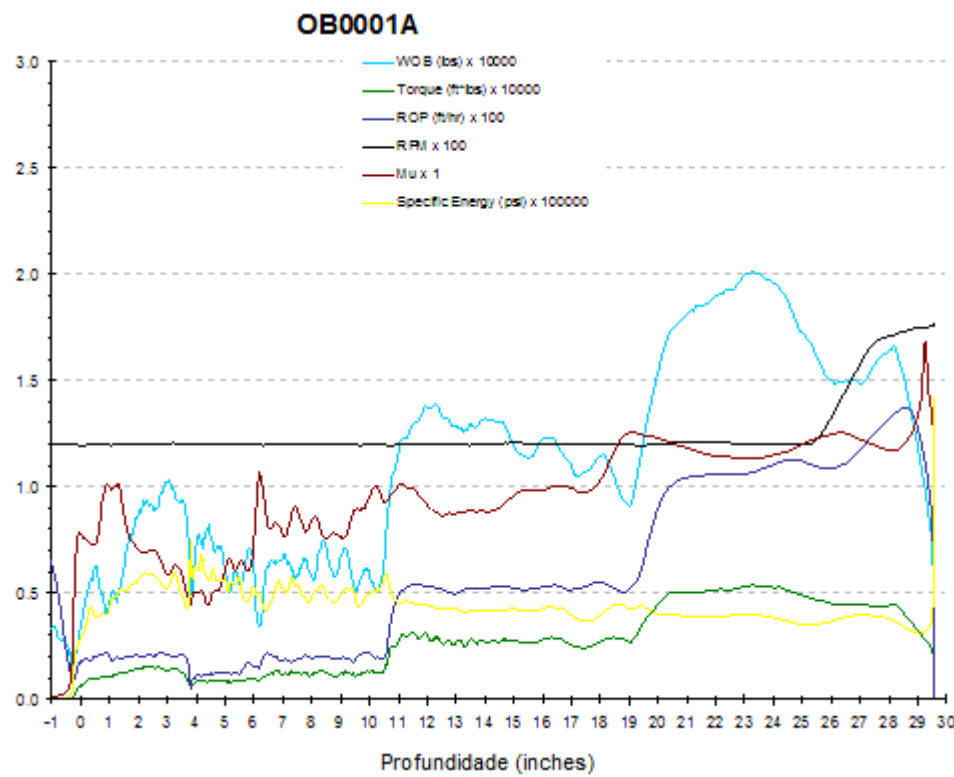


Figura A7: perfis do ensaio OB0001A.

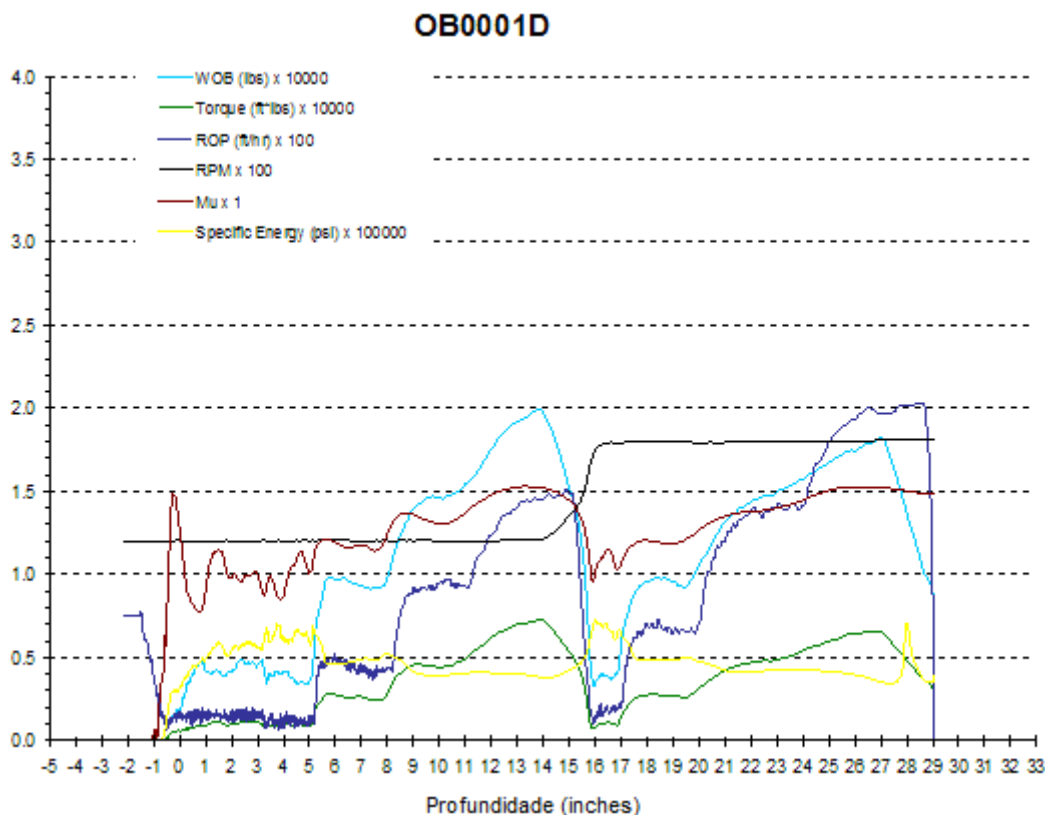


Figura A8: perfis do ensaio OB0001D.

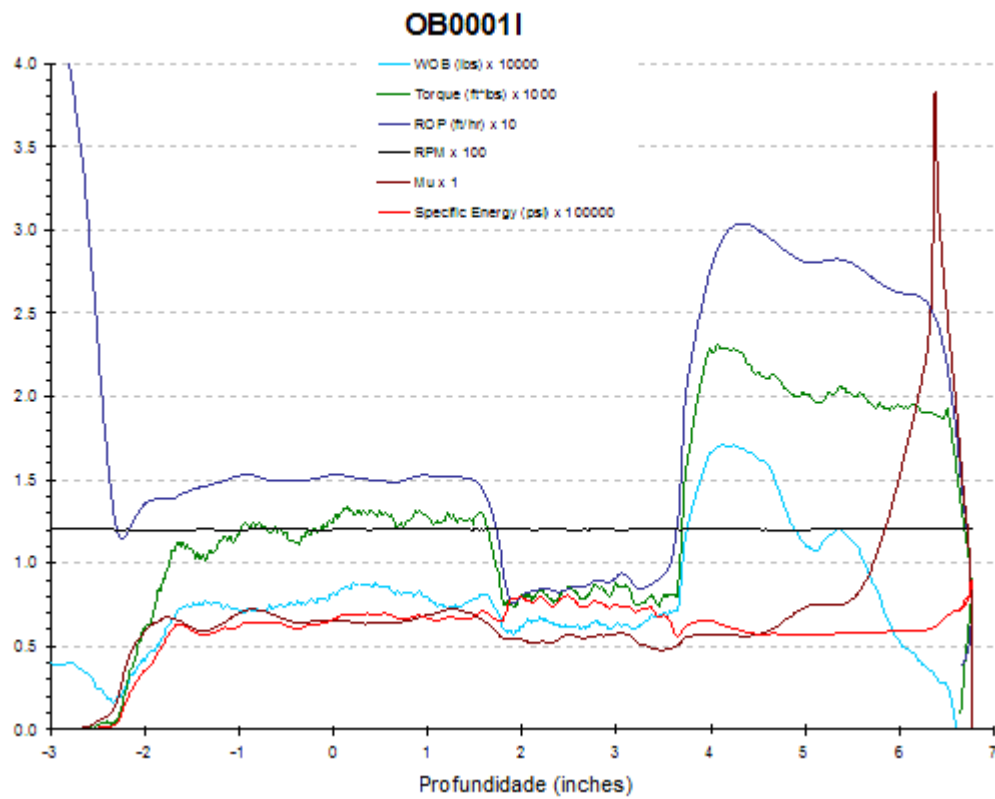


Figura A9: perfis do ensaio OB0001I.

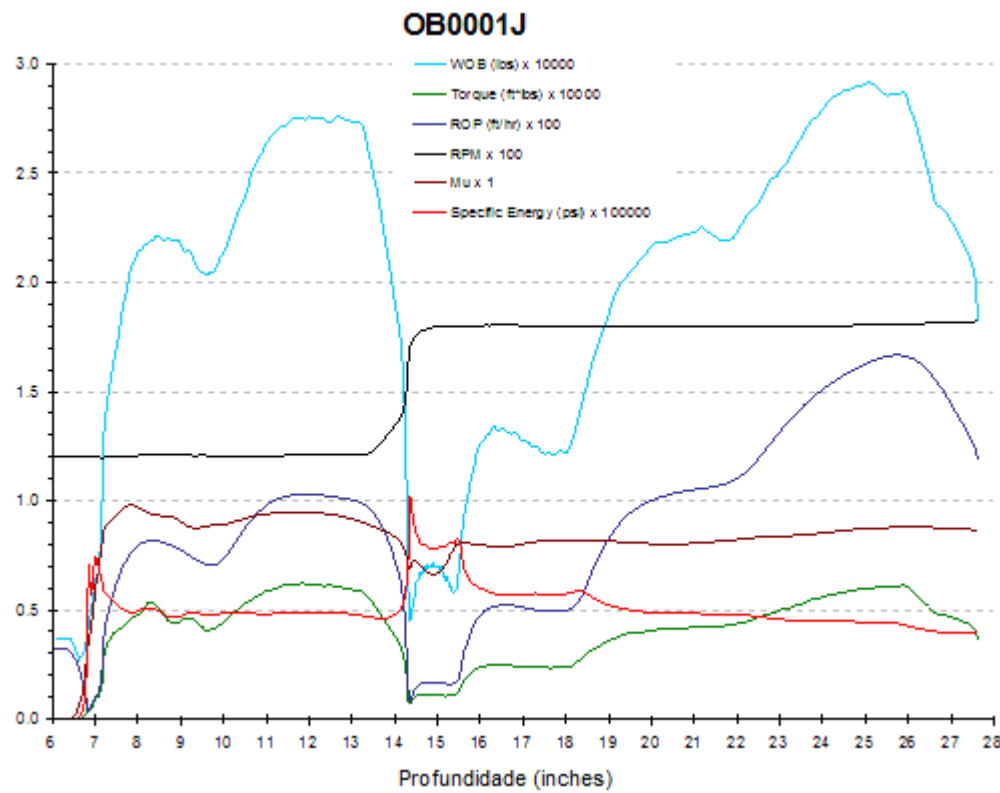


Figura A10: perfis do ensaio OB0001J.

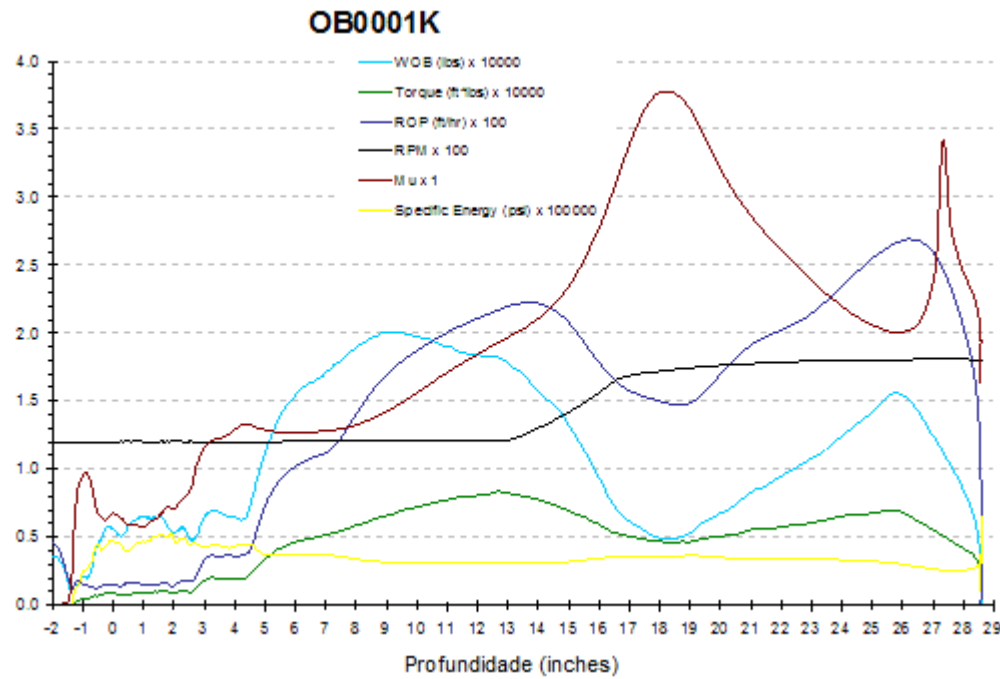


Figura A11: perfis do ensaio OB0001K.

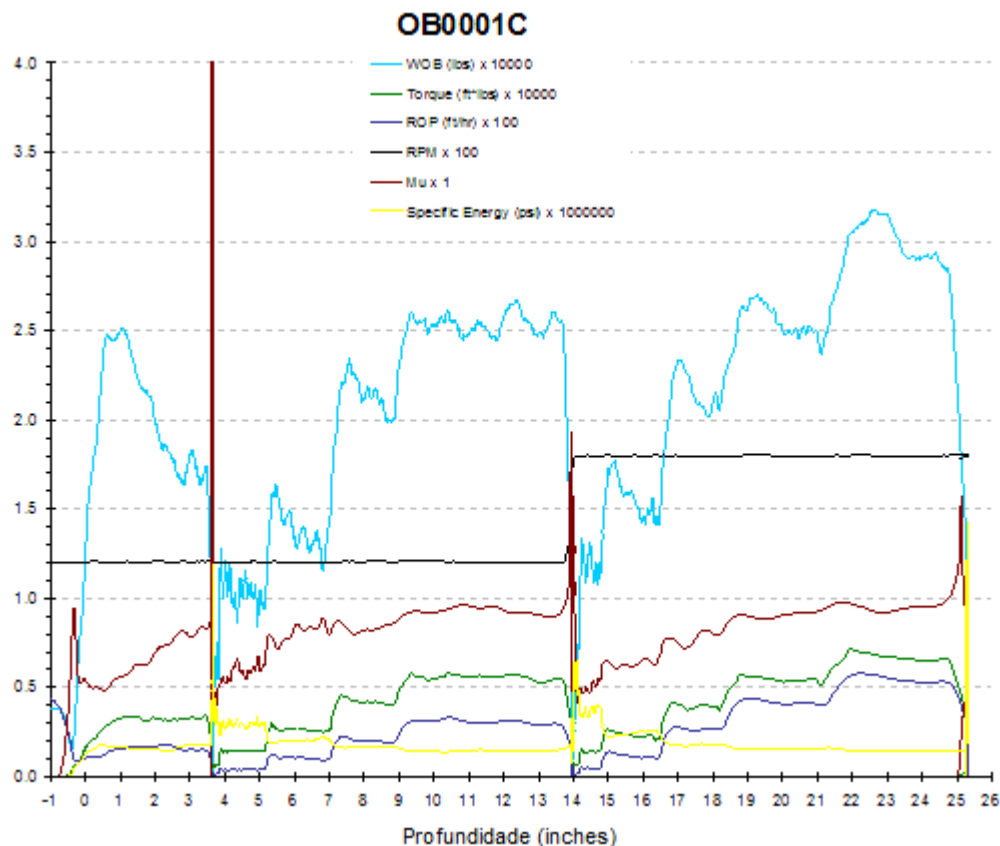


Figura A12: perfis do ensaio OB0001C – Anidrita.

A.2.

Gráficos da Faixa de Variação da Resistência à Compressão Confinada para Poços e Ensaios de Laboratório

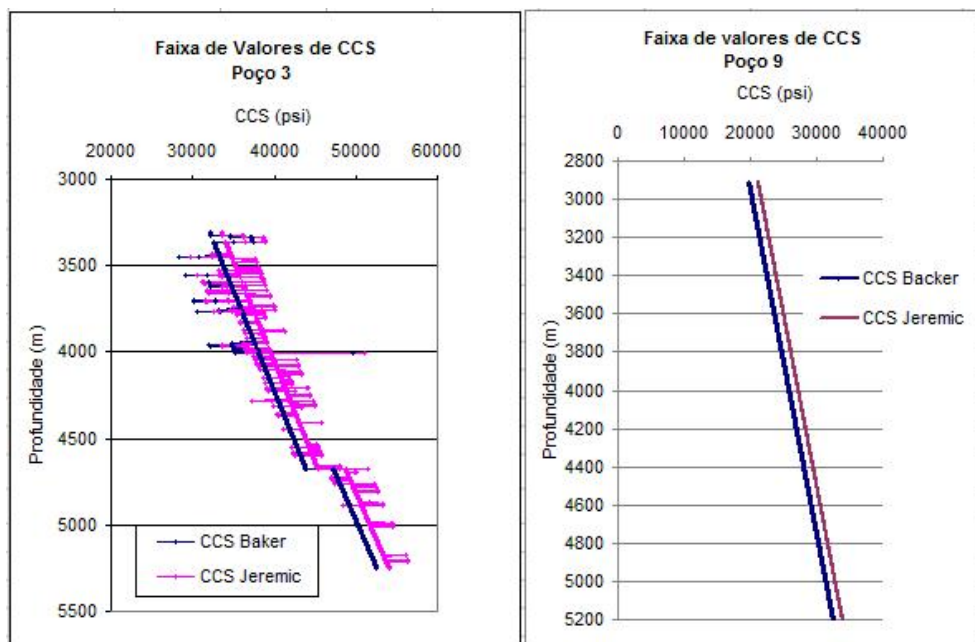


Figura A13: faixa de valores de CCS para os Poços 3 e 9.

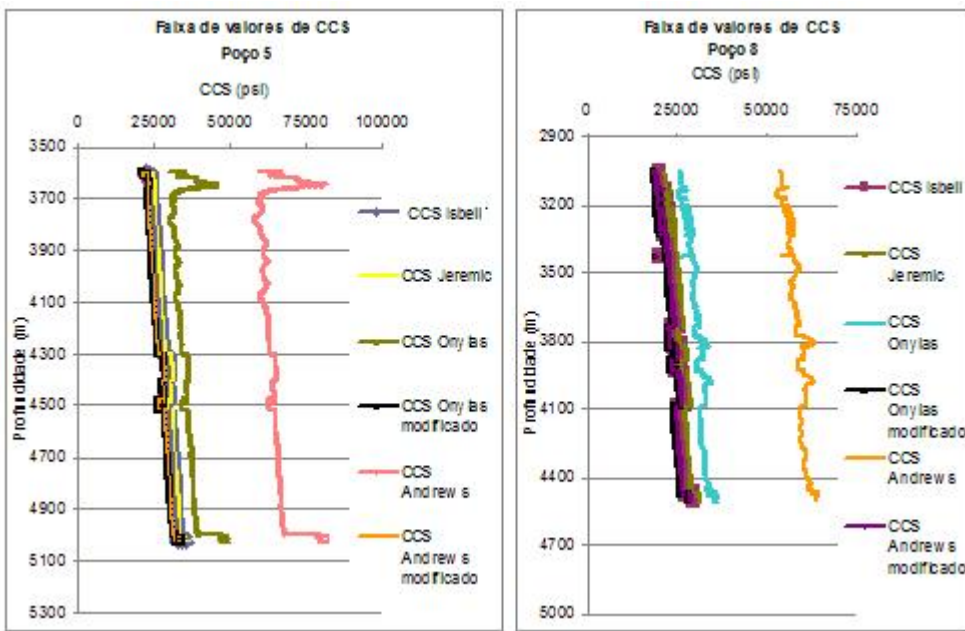


Figura A14: faixa de valores de CCS para os Poços 5 e 8.

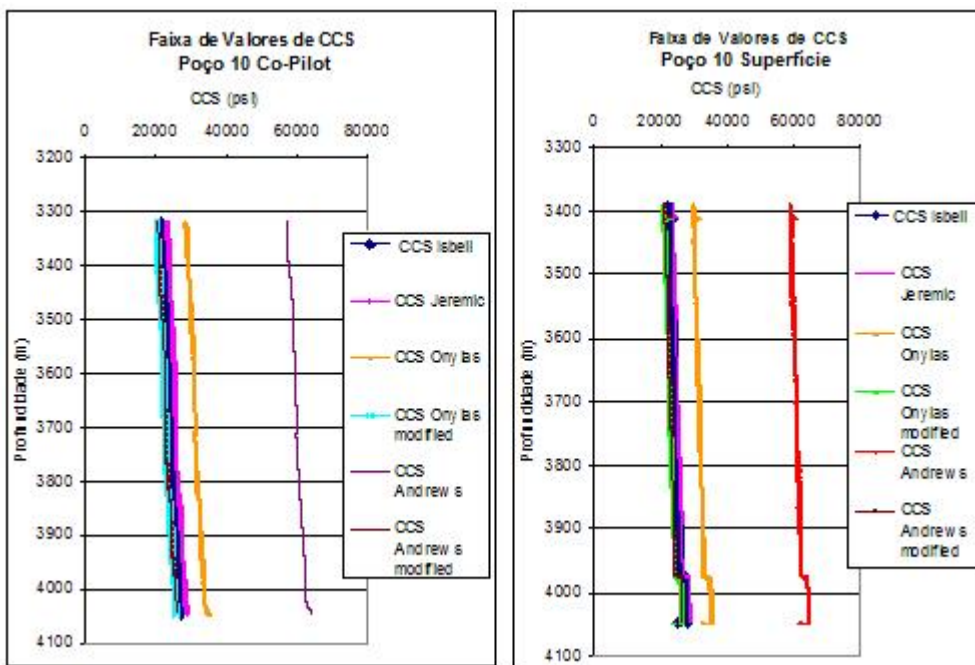


Figura A15: faixa de valores de CCS para o Poço 10_CoPilot e 10_Superfície.

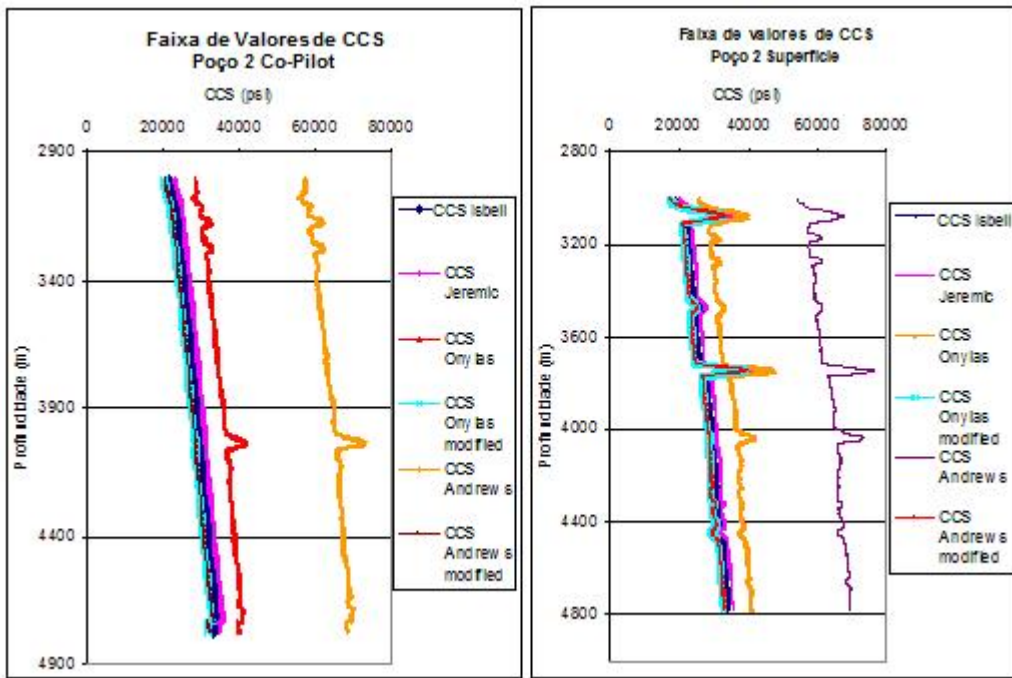


Figura A16: faixa de valores de CCS para o Poço 2_CoPilot e 2_Superfície.

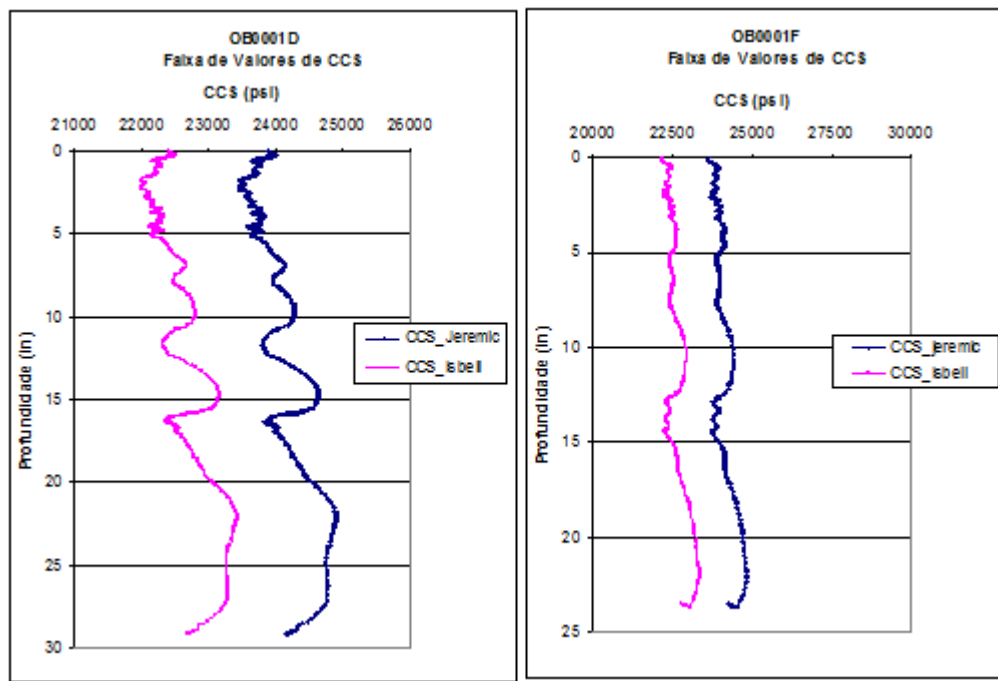


Figura A17: faixa de valores de CCS para os ensaios OB0001D e OB0001F.

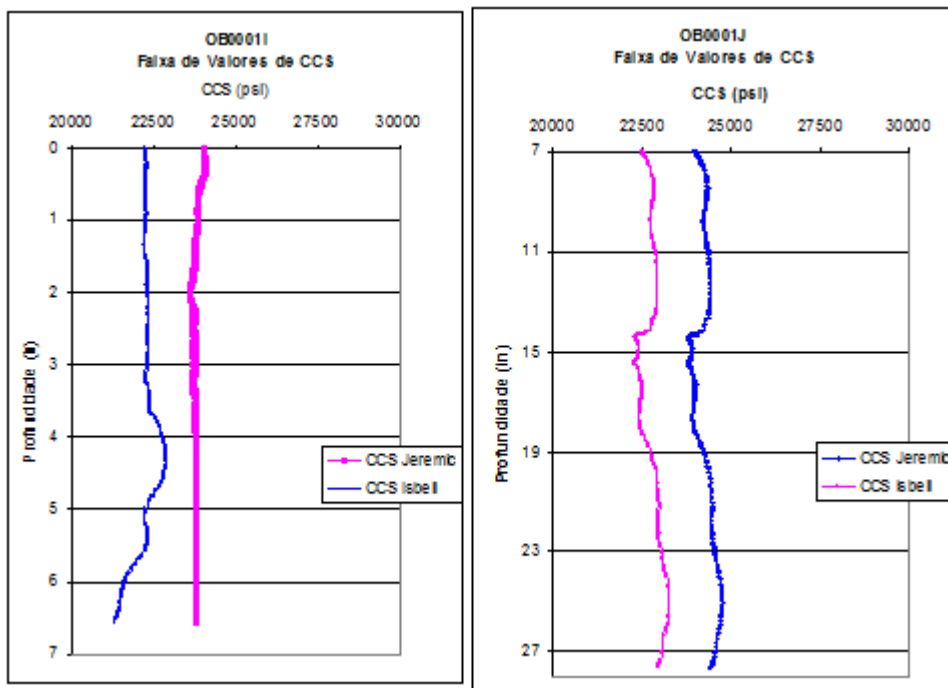


Figura A18: faixa de valores de CCS para os ensaios OB0001I e OB0001J.

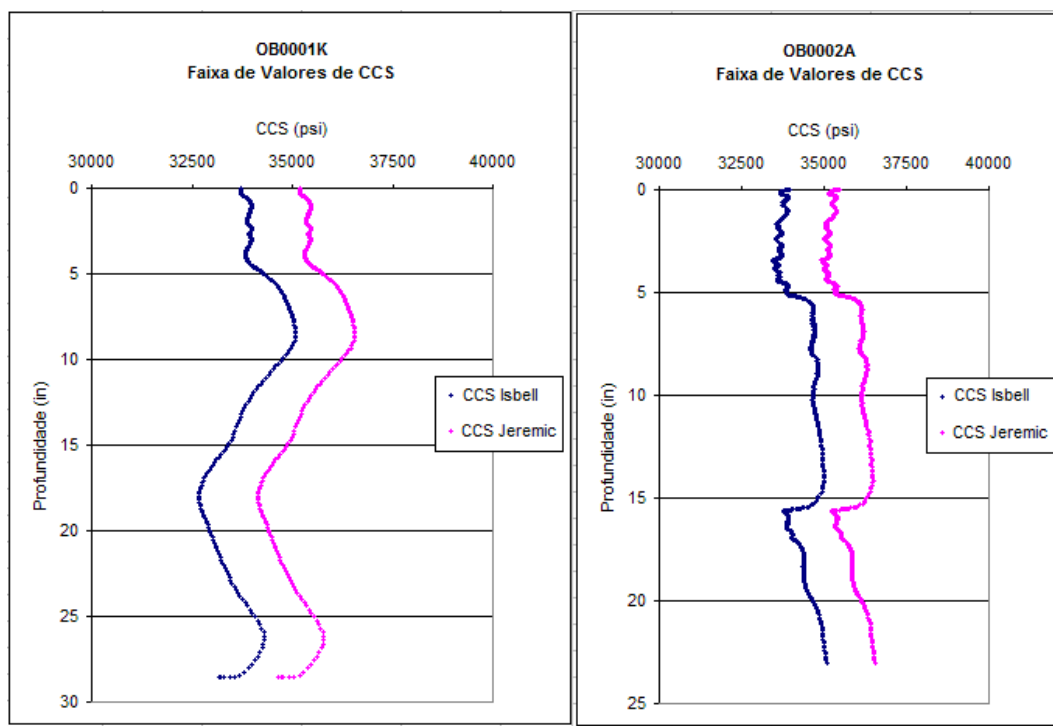


Figura A19: faixa de valores de CCS para os ensaios OB0001K e OB0002A.

A.3.

Gráficos da Aplicação dos Modelos Analíticos para os Poços e Ensaios de Laboratório

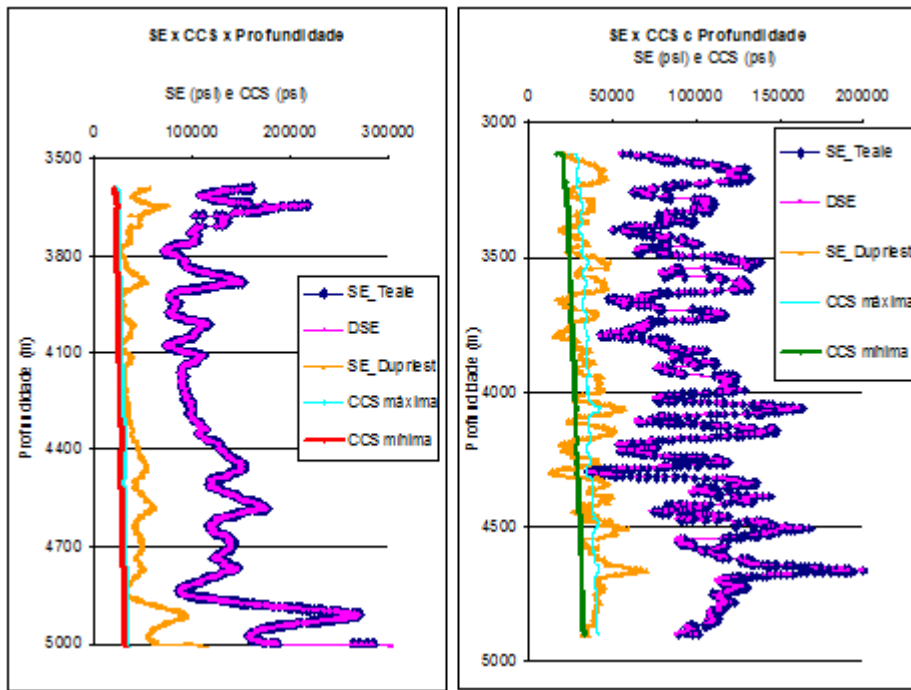


Figura A20: aplicação dos modelos analíticos de perfuração – Poços 5 e 7.

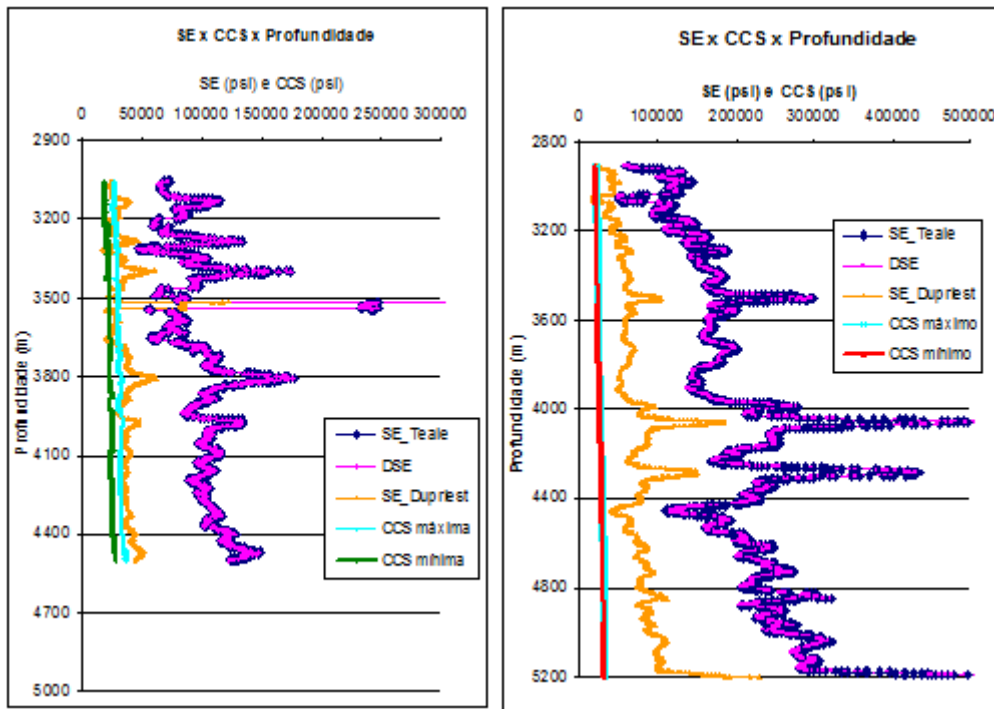


Figura A21: aplicação dos modelos analíticos de perfuração – Poço 8 e 9.

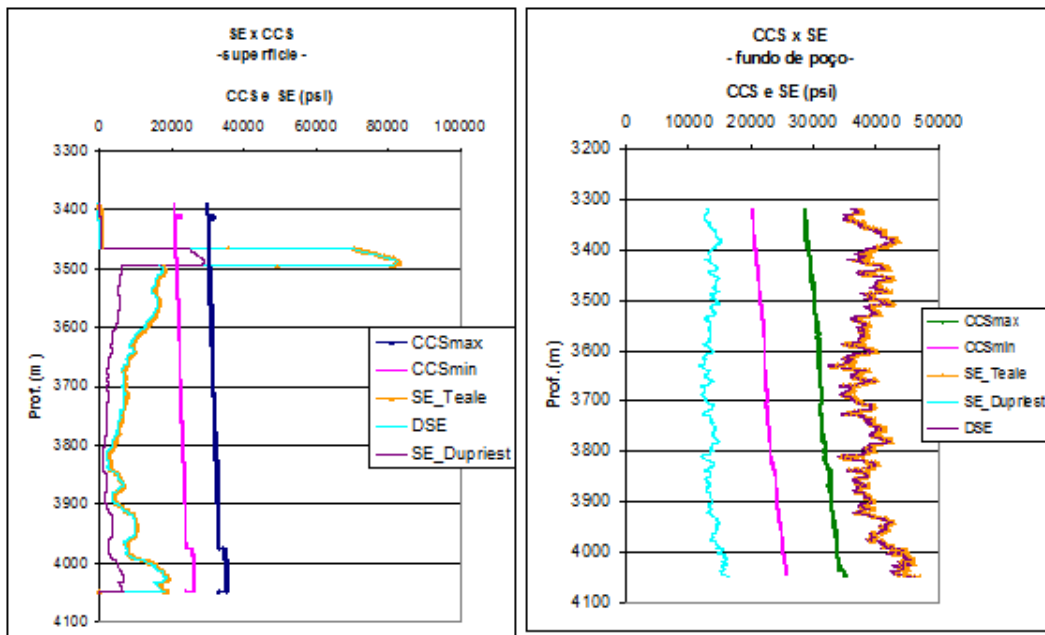


Figura A22: aplicação dos modelos analíticos de perfuração – Poço 10_CoPilot e 10_Superfície.

A.4.

Gráficos da Eficiência Mecânica Máxima versus Profundidade – Poços

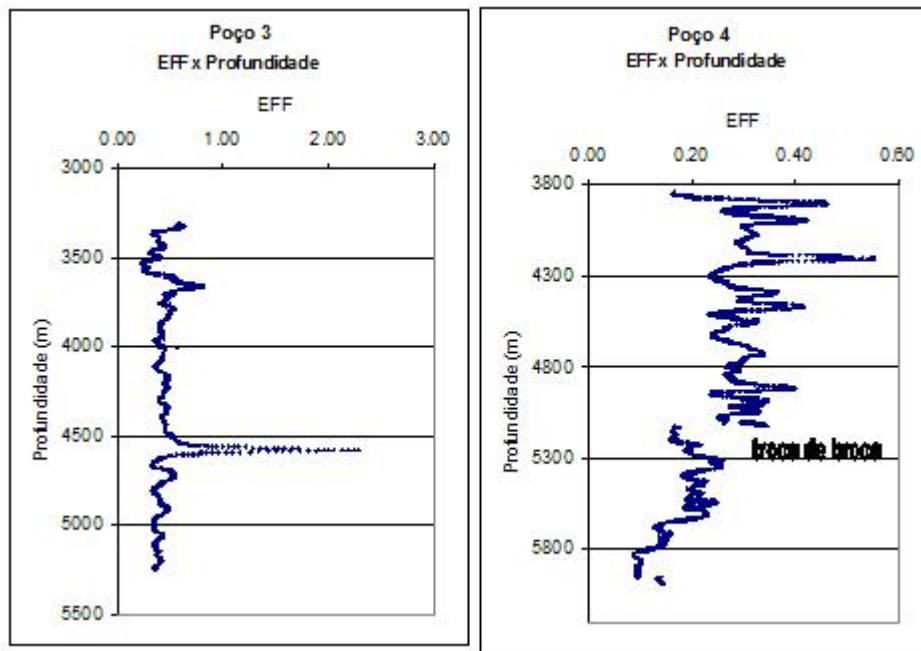


Figura A23: EFFmax para os Poços 3 e 4.

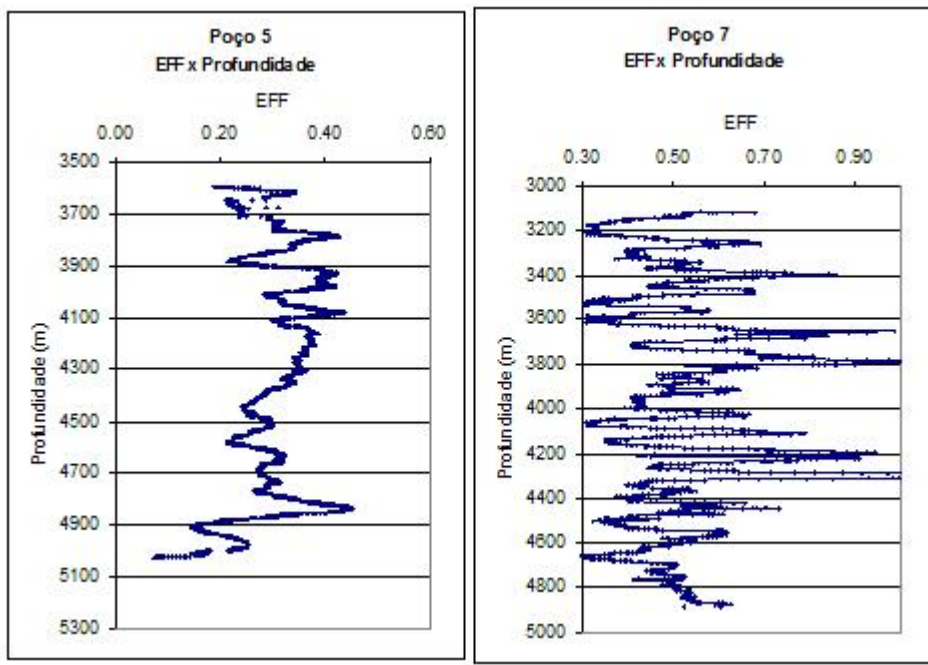


Figura A24: EFFmax para os Poços 5 e 7.

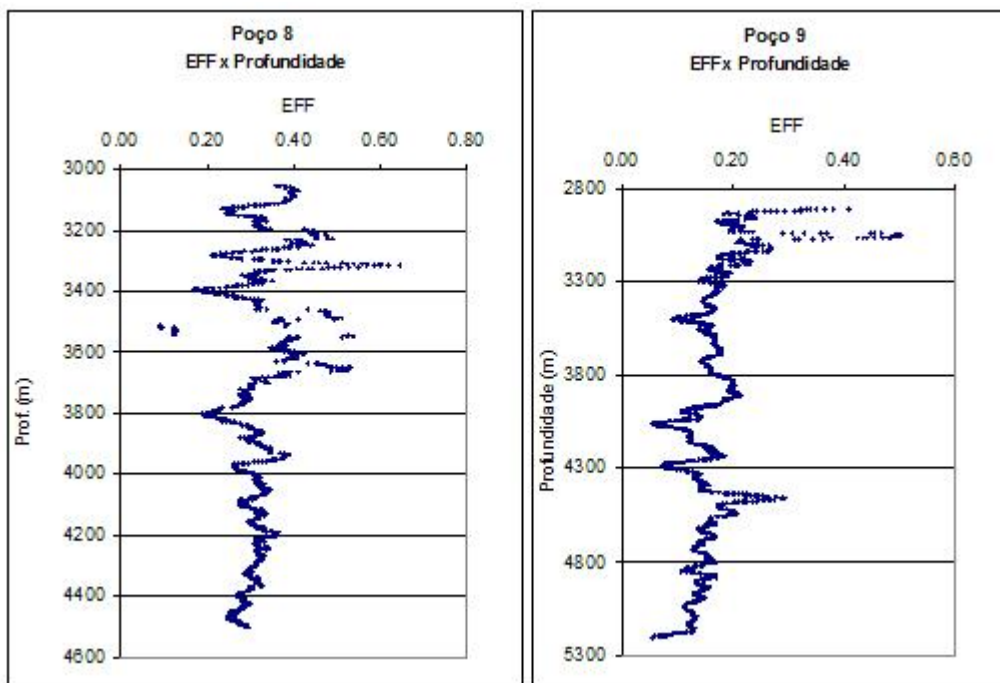


Figura A25: EFFmax para os Poços 8 e 9.

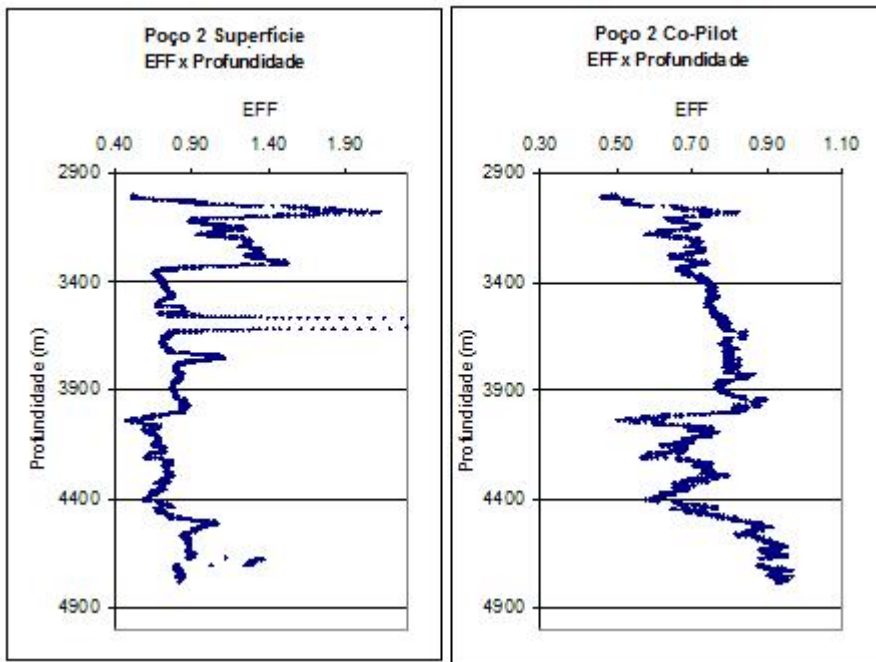


Figura A26: EFFmax para o Poço 2 – dados de superfície e dados de CoPilot.

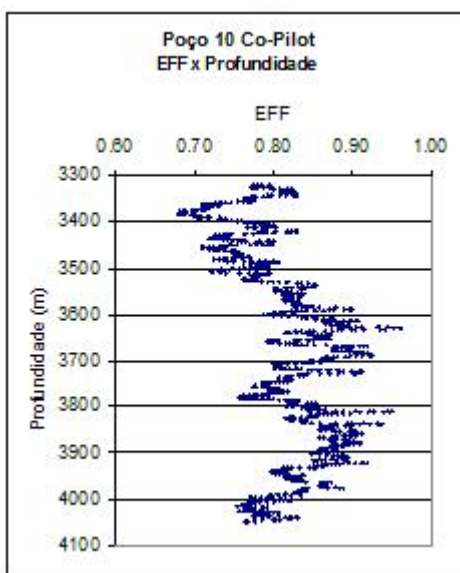


Figura A27: EFFmax para o Poço 10.

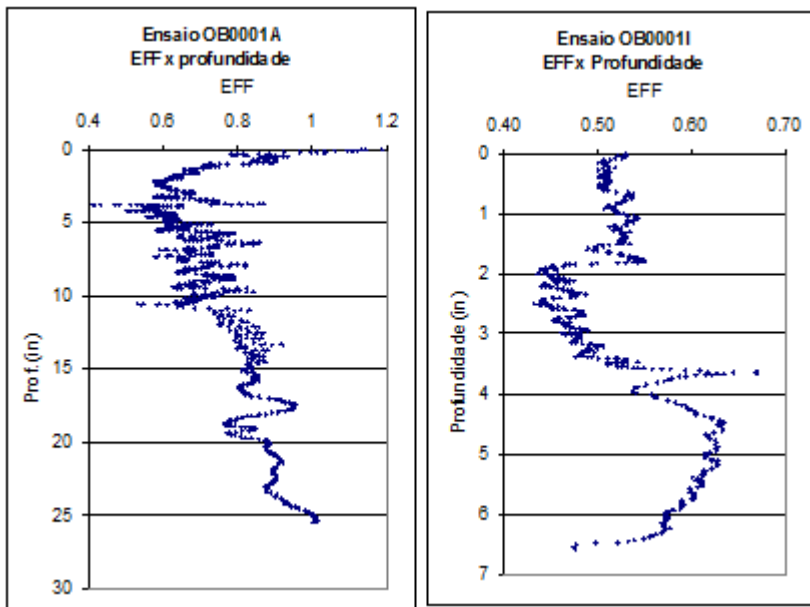
A.5.**Gráficos da Eficiência Mecânica Máxima versus Profundidade –
Ensaios de Laboratório**

Figura A28: EFFmax para os ensaios OB0001A e OB0001I.

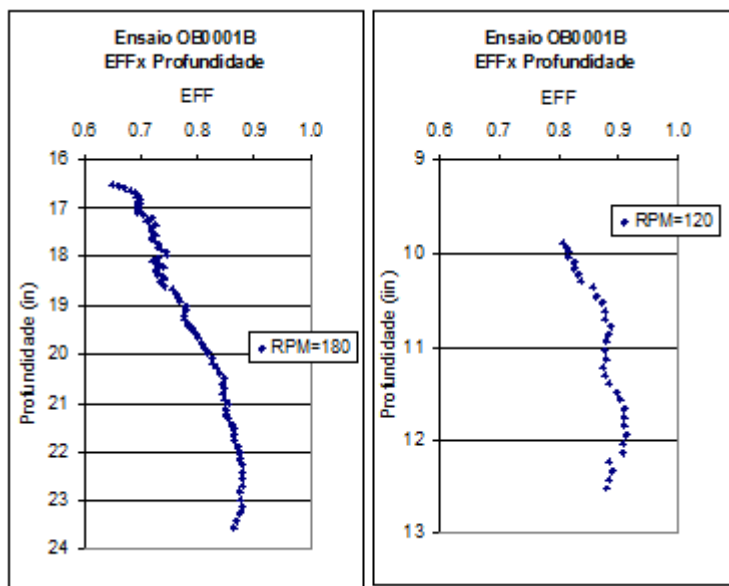


Figura A29: EFFmax para os trechos do ensaio OB0001B.

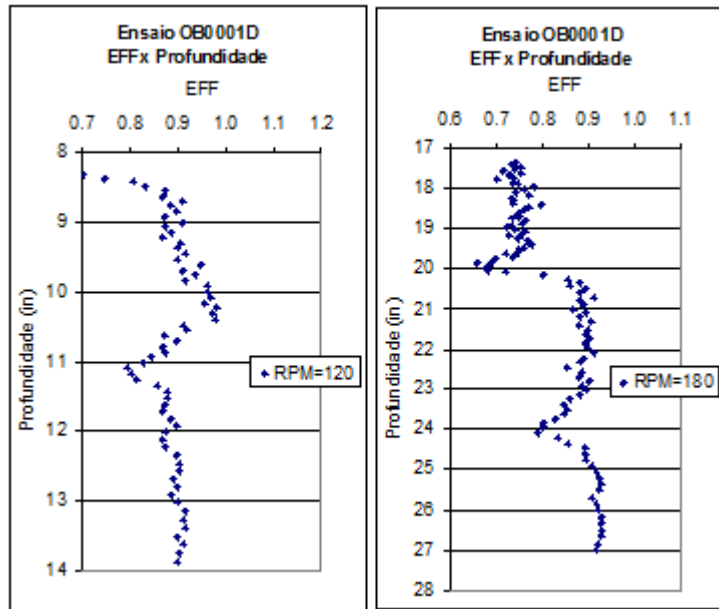


Figura A30: EFFmax para os trechos do ensaio OB0001D.

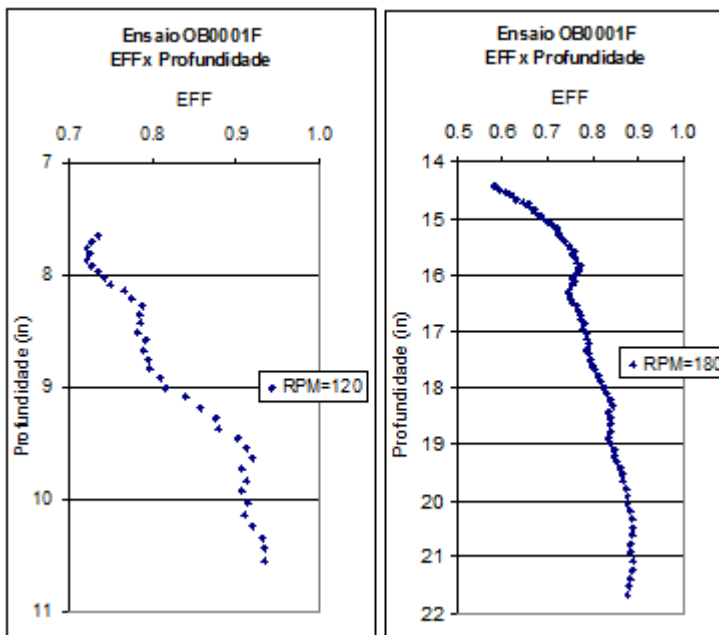


Figura A31: EFFmax para os trechos do ensaio OB0001F.

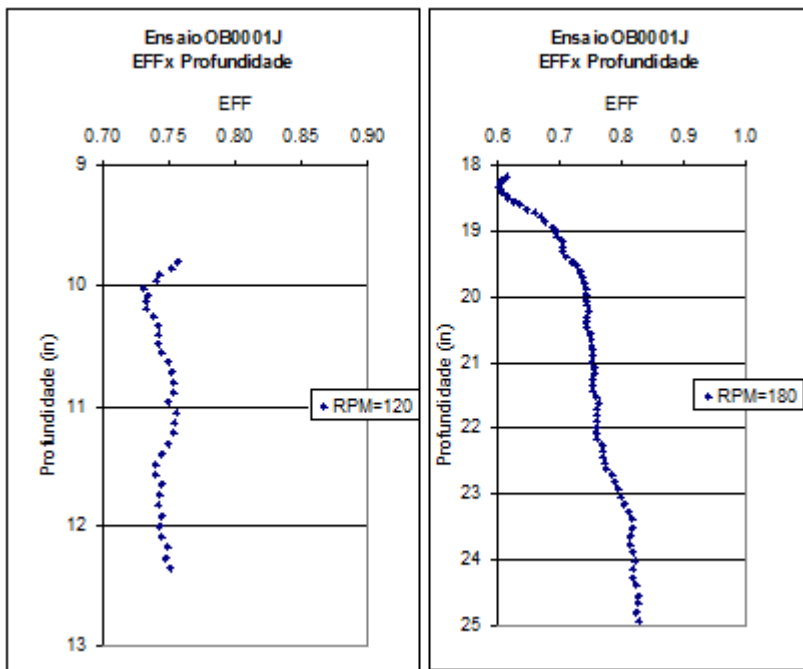


Figura A32: EFFmax para os trechos do ensaio OB0001J.

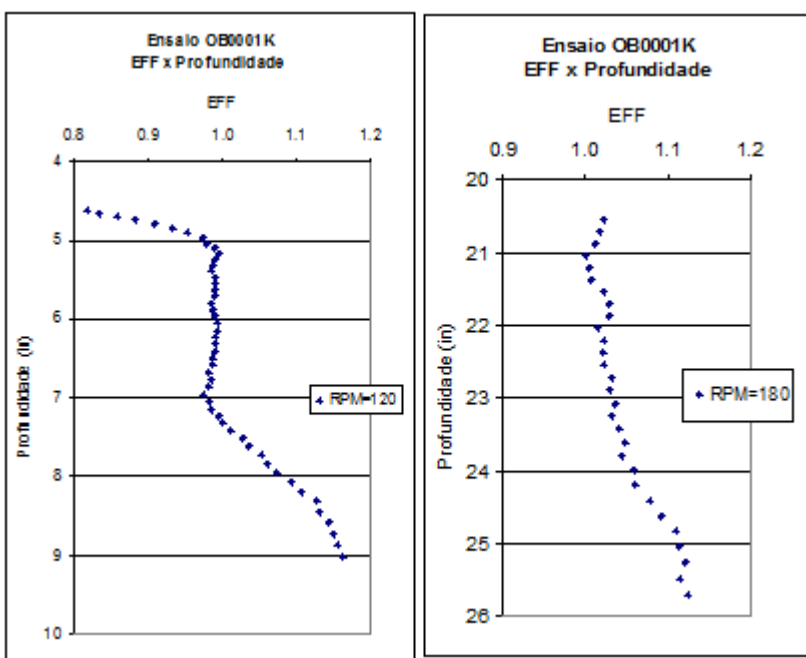


Figura A33: EFFmax para os trechos do ensaio OB0001K.

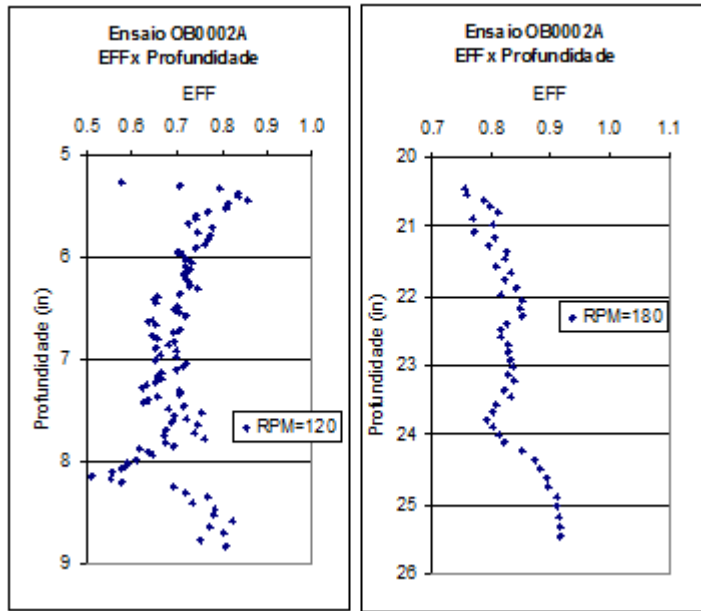
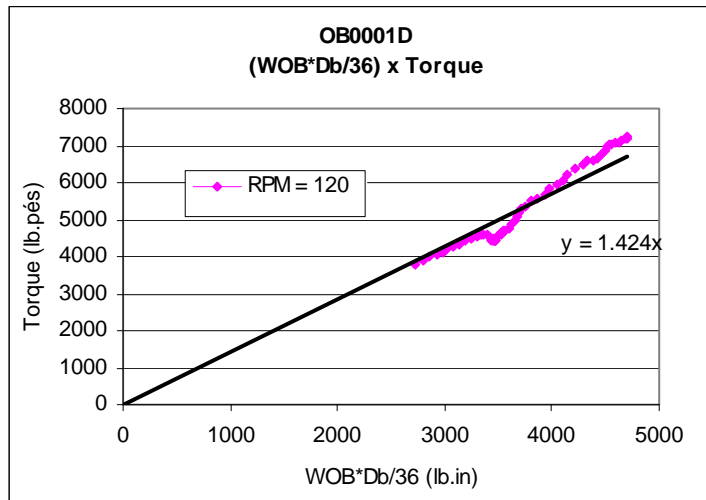


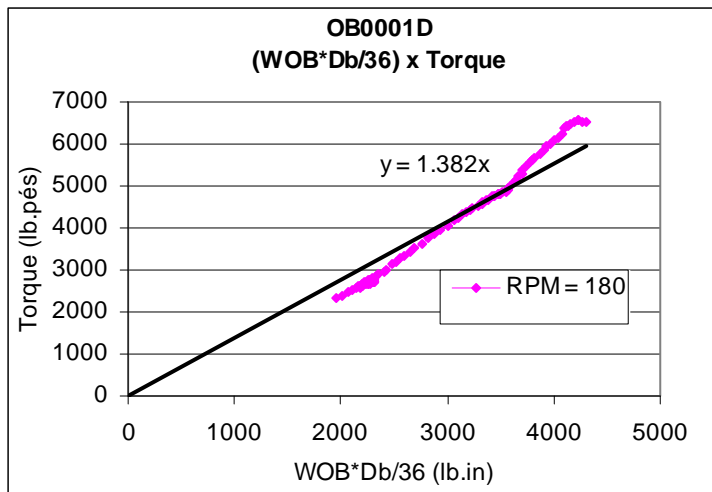
Figura A34: EFFmax para os trechos do ensaio OB0002A.

A.6.

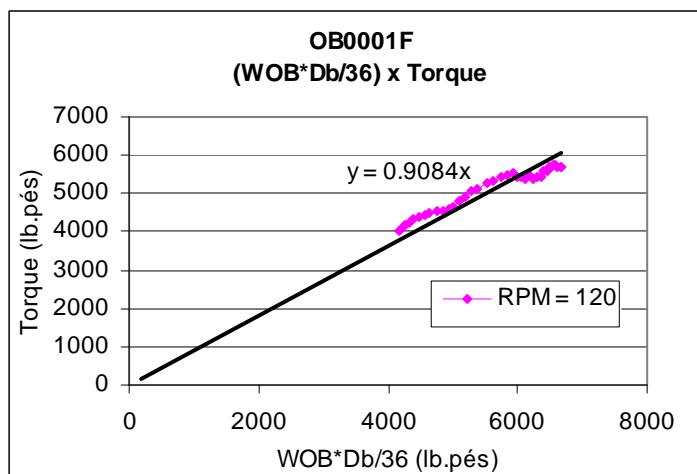
Avaliação do Comportamento do Coeficiente de Atrito ao Deslizamento da Broca – Ensaios de Laboratório



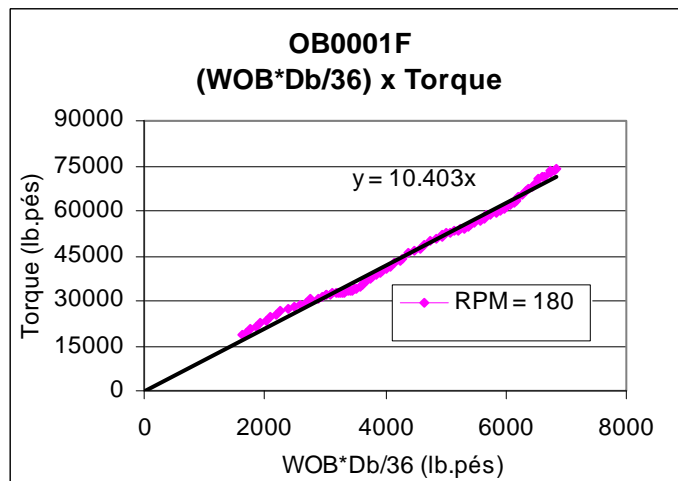
(a)



(b)

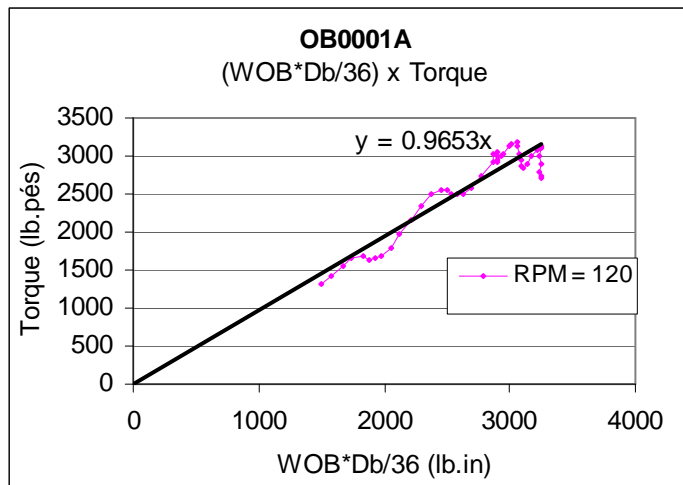
Figura A35: avaliação de μ para o ensaio OB0001D: (a) RPM=120 e (b) RPM=180

(a)

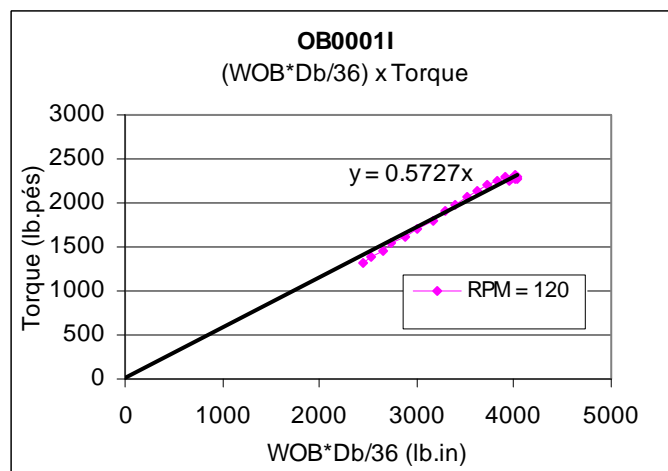


(b)

Figura A36: avaliação de μ para o ensaio OB0001F: (a) RPM=120 e (b) RPM=180

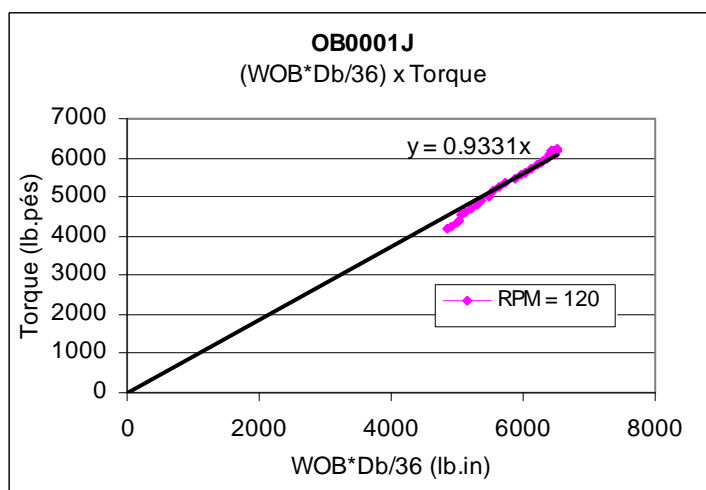


(a)

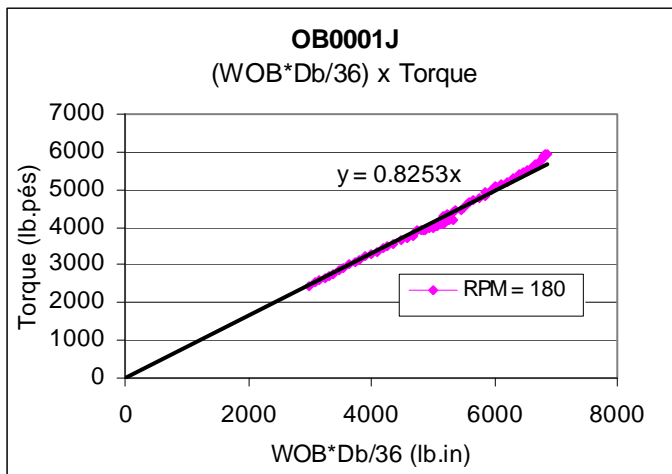


(b)

Figura A37: avaliação de μ para os ensaios: (a) OB0001A e (b) OB0001I.

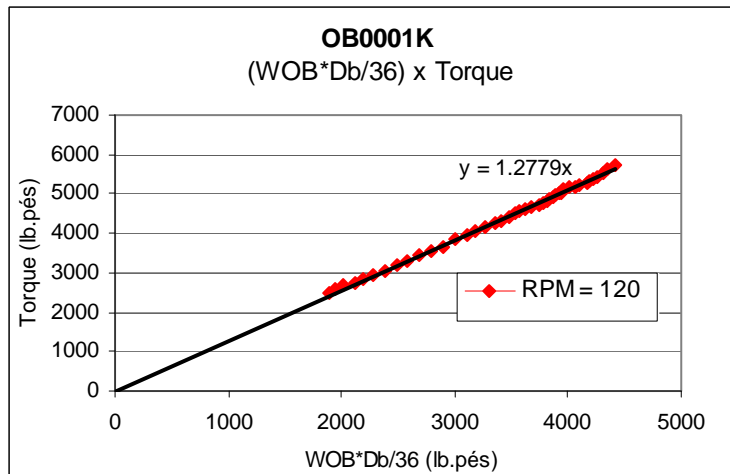


(a)

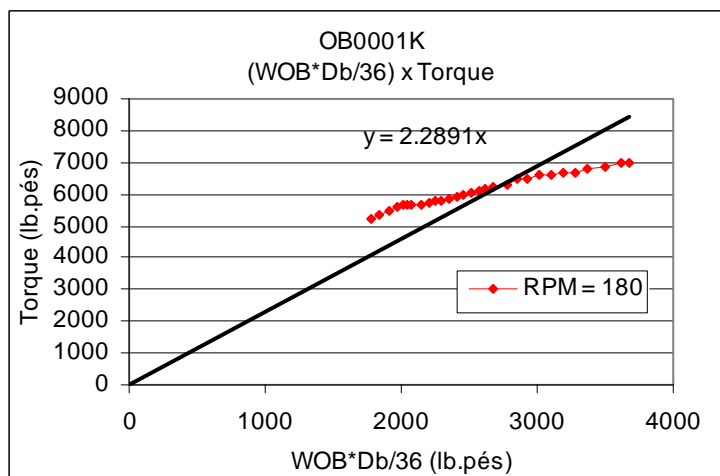


(b)

Figura A38: avaliação de μ para o ensaio OB0001J: (a) RPM=120 e (b) RPM=180

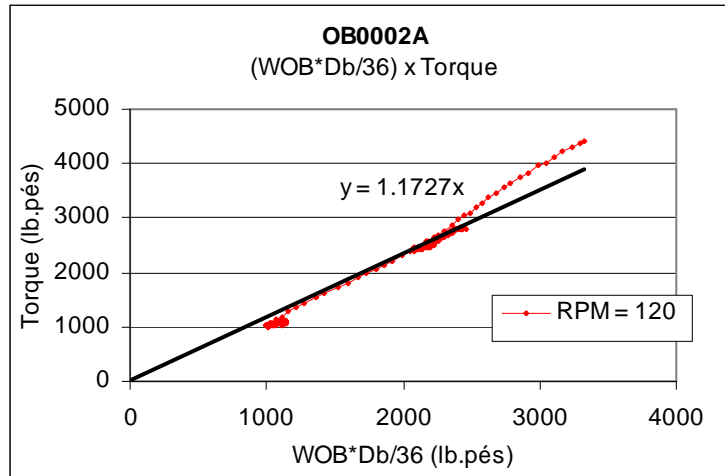


(a)

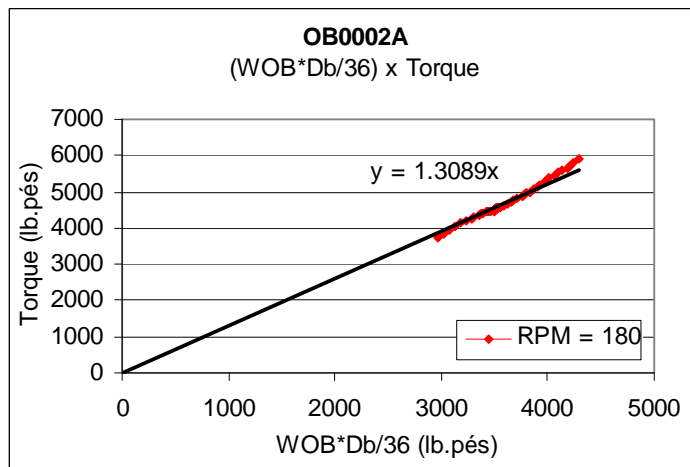


(b)

Figura A39: avaliação de μ para o ensaio OB0001K: (a) RPM=120 e (b) RPM=180



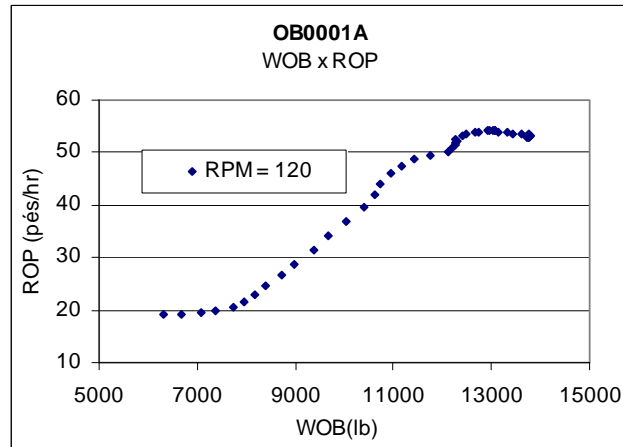
(a)



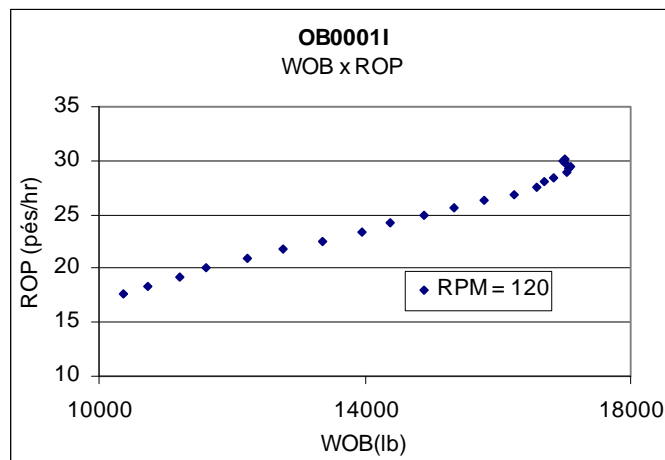
(b)

Figura A40: avaliação de μ para o ensaio OB0002A: (a) RPM=120 e (b) RPM=180

A.7. Curvas WOB x ROP – Ensaios de Laboratório

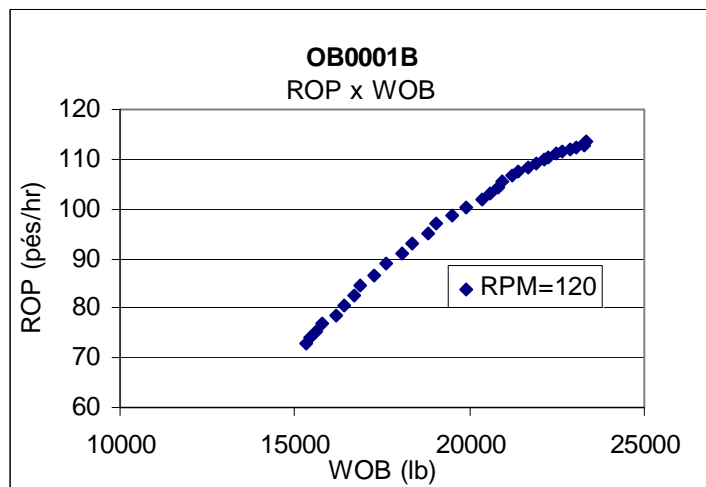


(a)

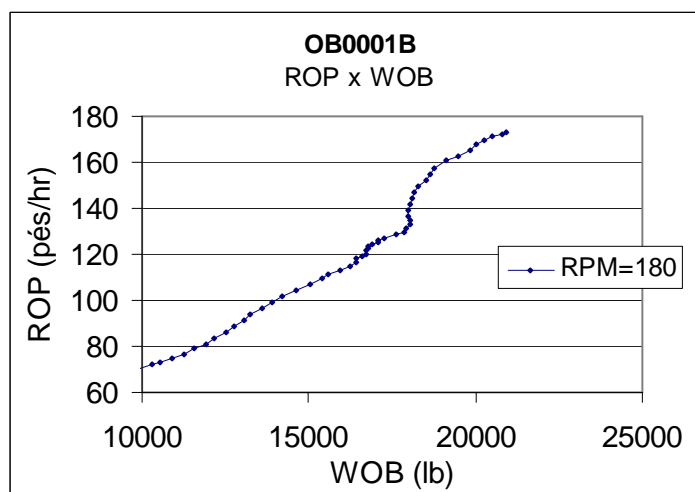


(b)

Figura A41: curvas ROP x WOB para os ensaios: (a) OB0001A e (b) OB0001I.

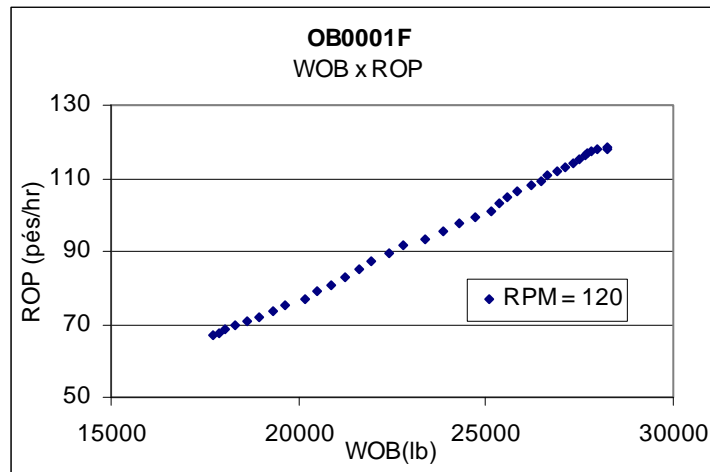


(a)

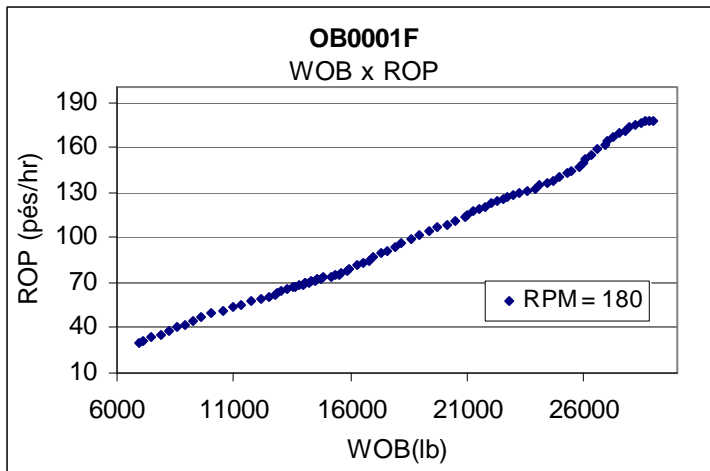


(b)

Figura A42: curvas ROP x WOB para o ensaio OB0001B: (a) RPM=120 e (b) RPM=180

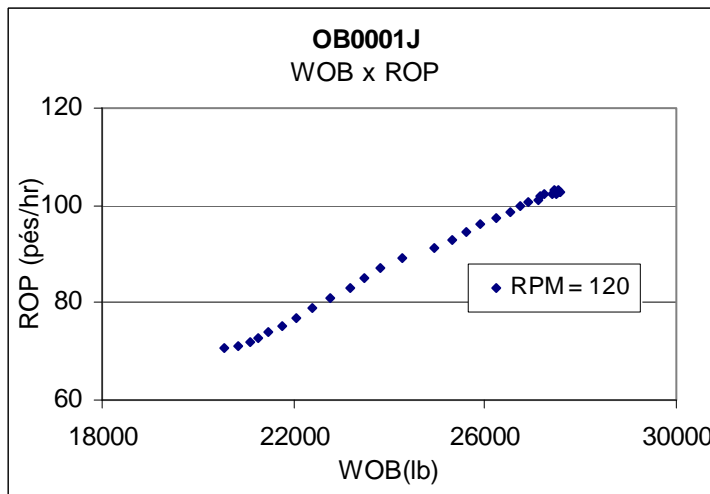


(a)

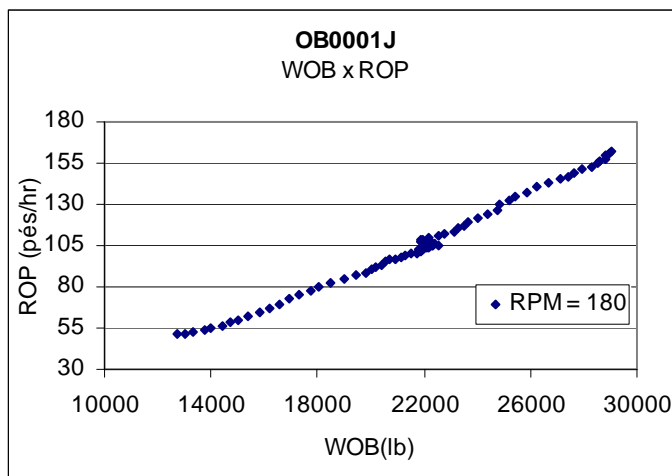


(b)

Figura A43: curvas ROP x WOB para o ensaio OB0001F: (a) RPM=120 e (b) RPM=180

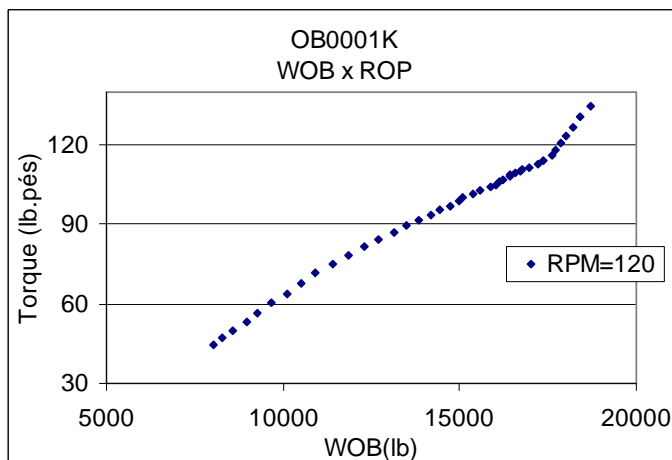


(a)

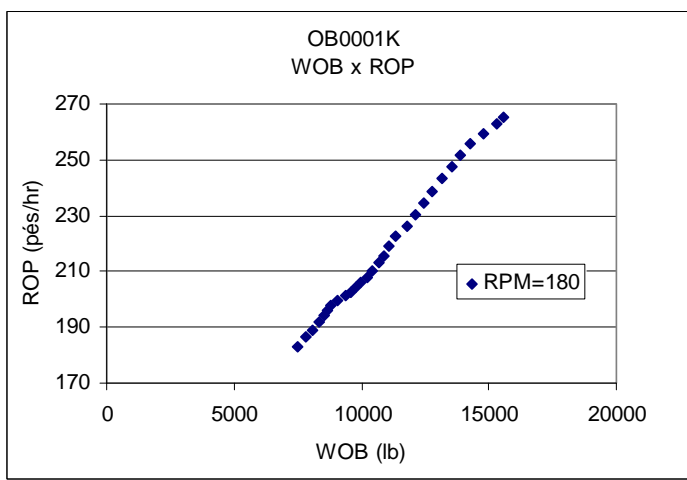


(b)

Figura A44: curvas ROP x WOB para o ensaio OB0001J: (a) RPM=120 e (b) RPM=180

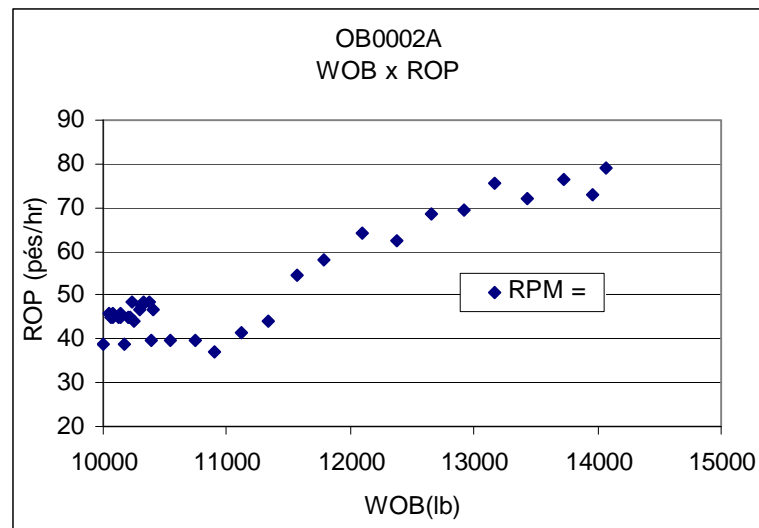


(a)

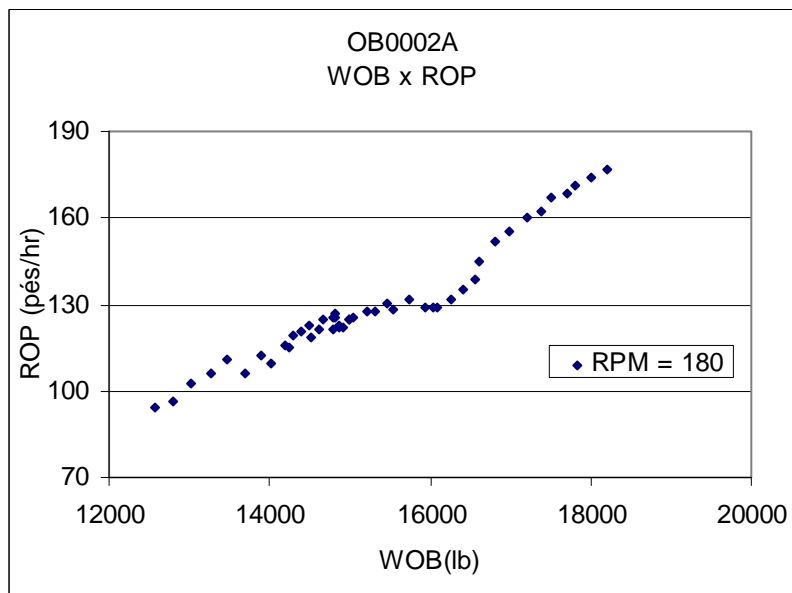


(b)

Figura A45: curvas ROP x WOB para o ensaio OB0001K: (a) RPM=120 e (b) RPM=180

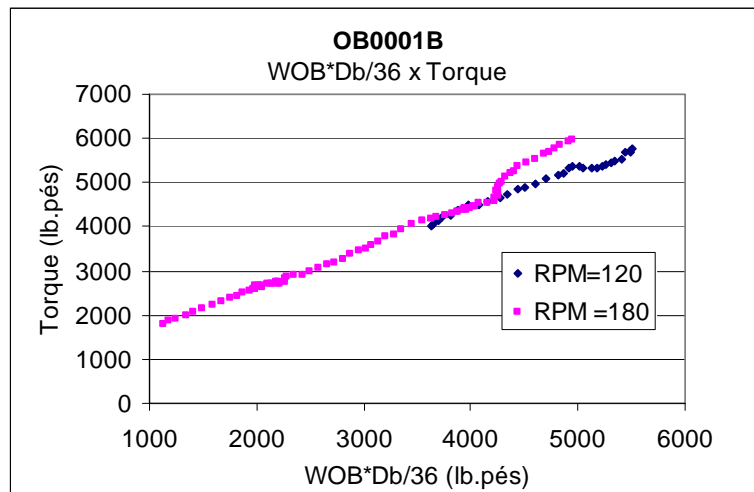


(a)

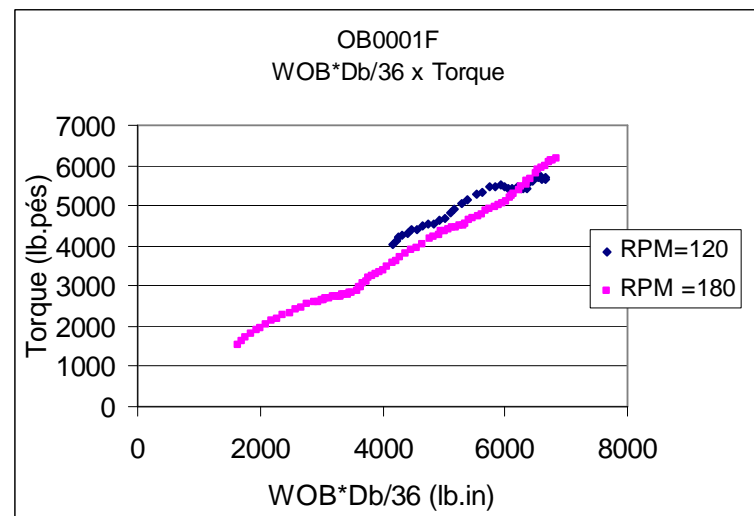


(b)

Figura A46: curvas ROP x WOB para o ensaio OB0002A: (a) RPM=120 e (b) RPM=180

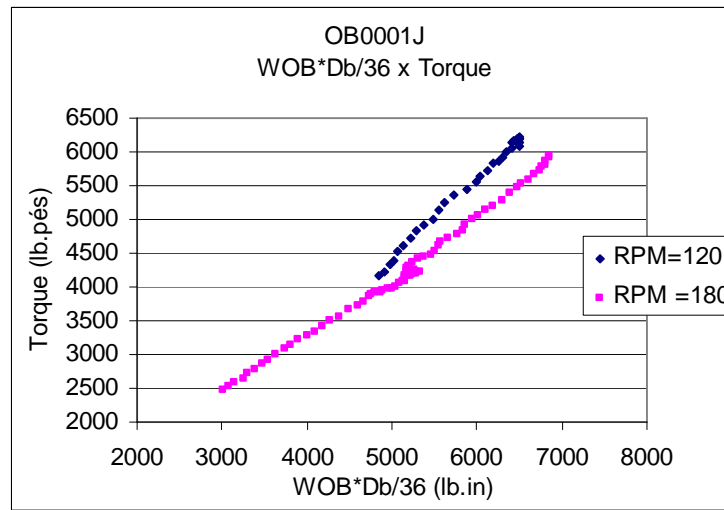
A.8.**Comparação entre as curvas T x (WOB.Db/36) – Ensaios de Laboratório**

(a)

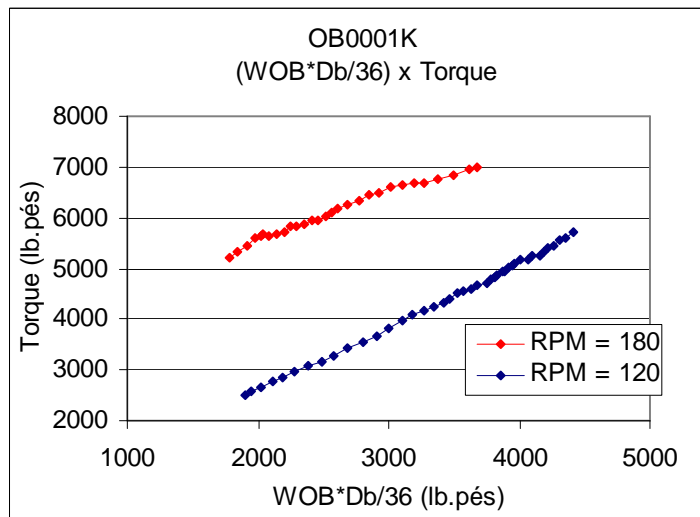


(b)

Figura A47: curvas T x WOB.Db/36 para ensaios OB0001B e OB0001F.



(a)



(b)

Figura A48: curvas T x WOB.Db/36 para ensaios OB0001J e OB0001K.

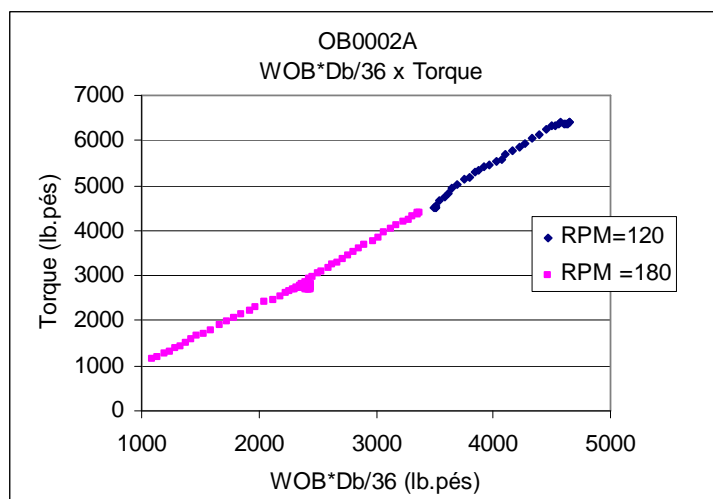
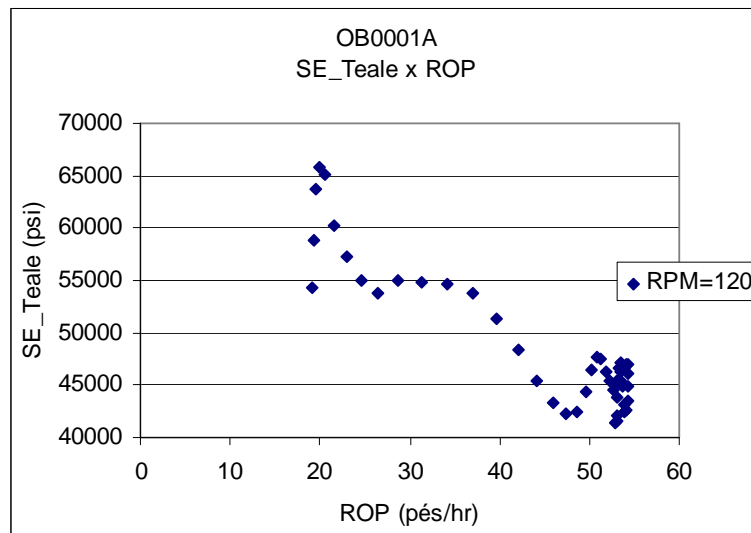
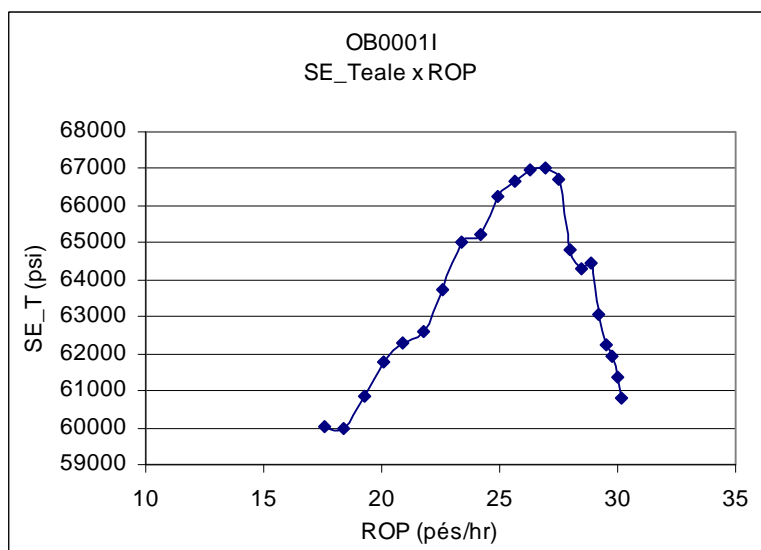


Figura A49: curvas T x WOB.Db/36 para o ensaio OB0002A.

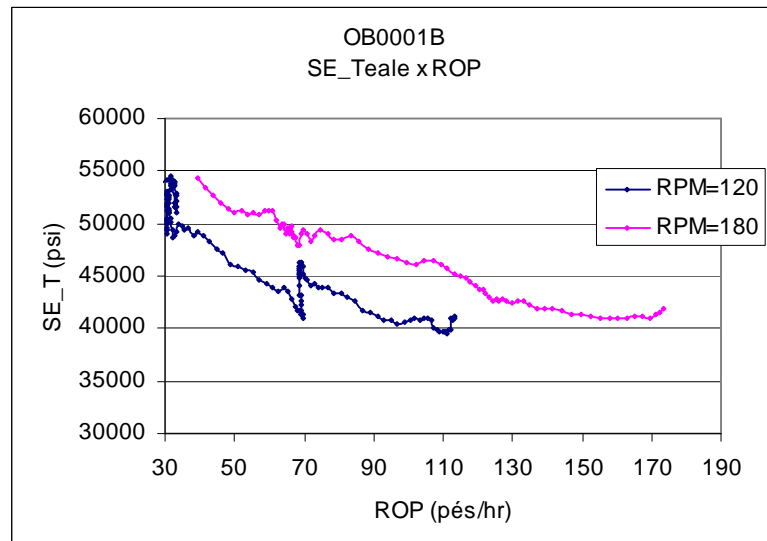
A.9.**Curvas SE_Teale x ROP para Ensaios de Laboratório**

(a)

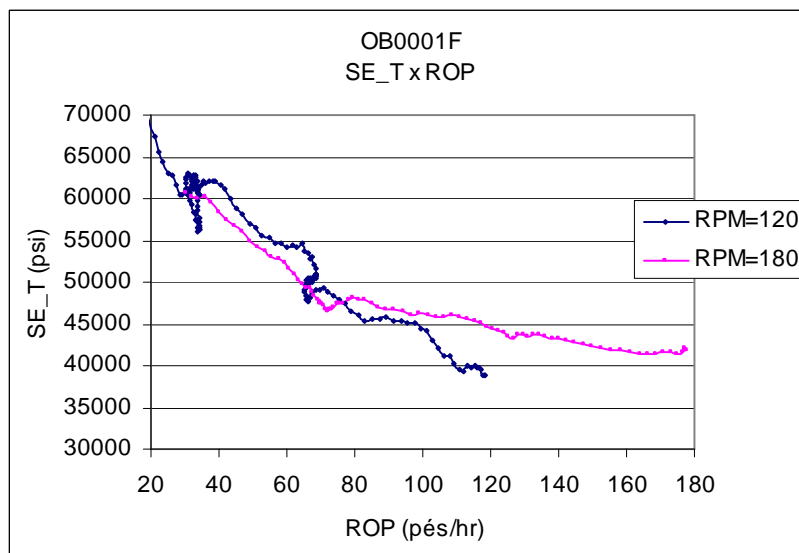


(b)

Figura A50: SE_T x ROP para os ensaios OB0001A e OB0001I.

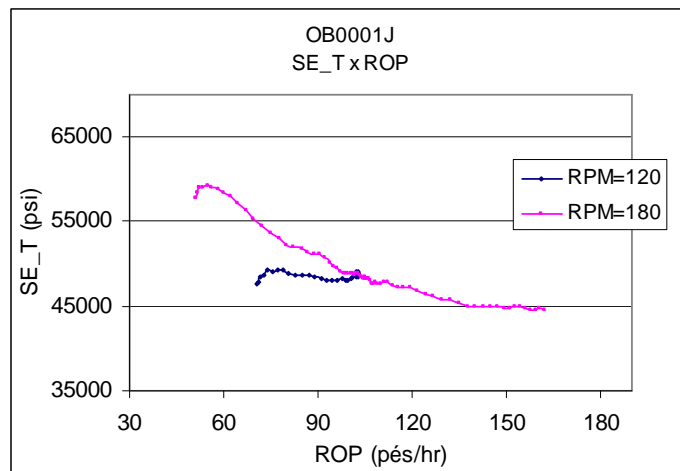


(a)

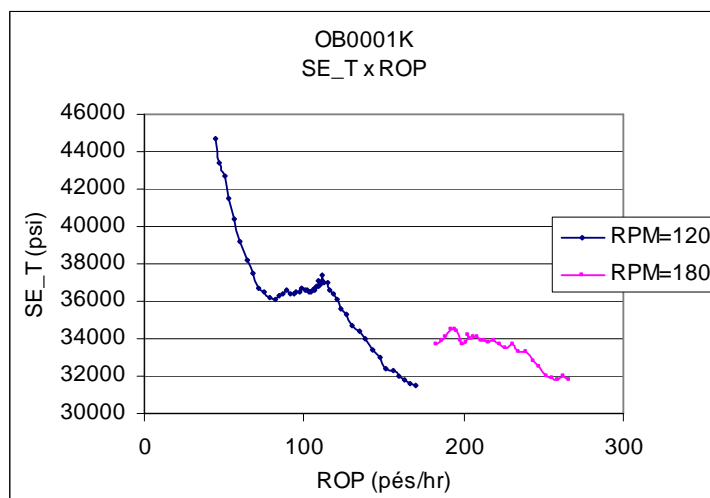


(b)

Figura A51: SE_T x ROP para os ensaios OB0001B e OB0001F.



(a)



(b)

Figura A52: SE_T x ROP para os ensaios OB0001J e OB0001K.

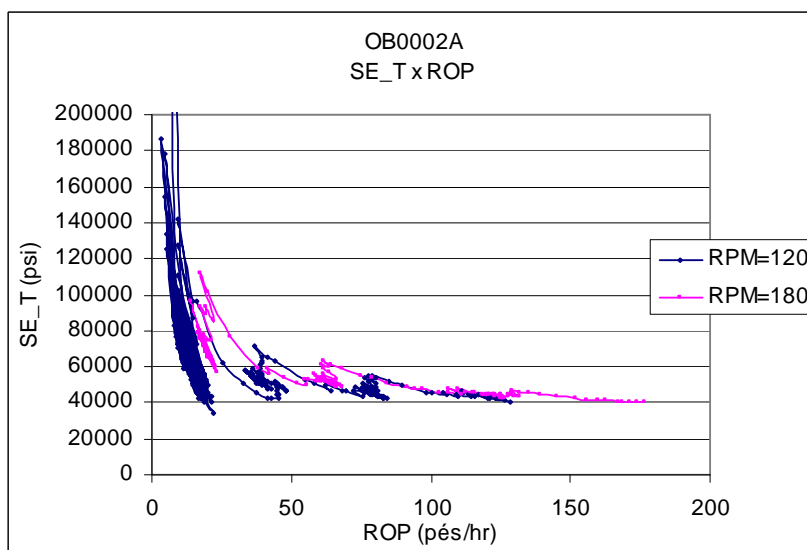


Figura A53: curva SE_T x ROP para o ensaio OB0002A.

A.10.

Curvas SE x CCS para Trechos dos Poços

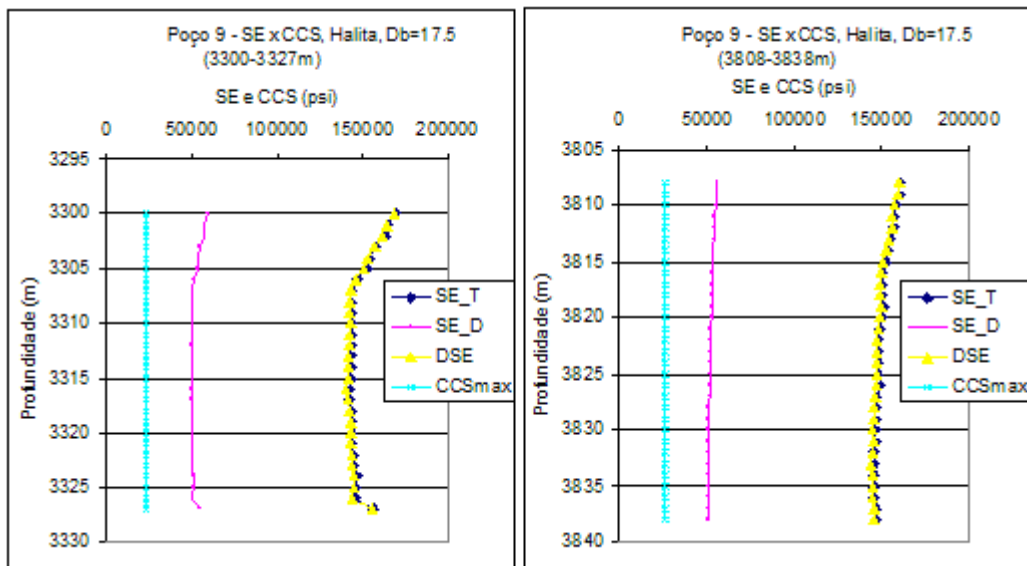


Figura A54: curva SE x CCS para os trechos do Poço 9.

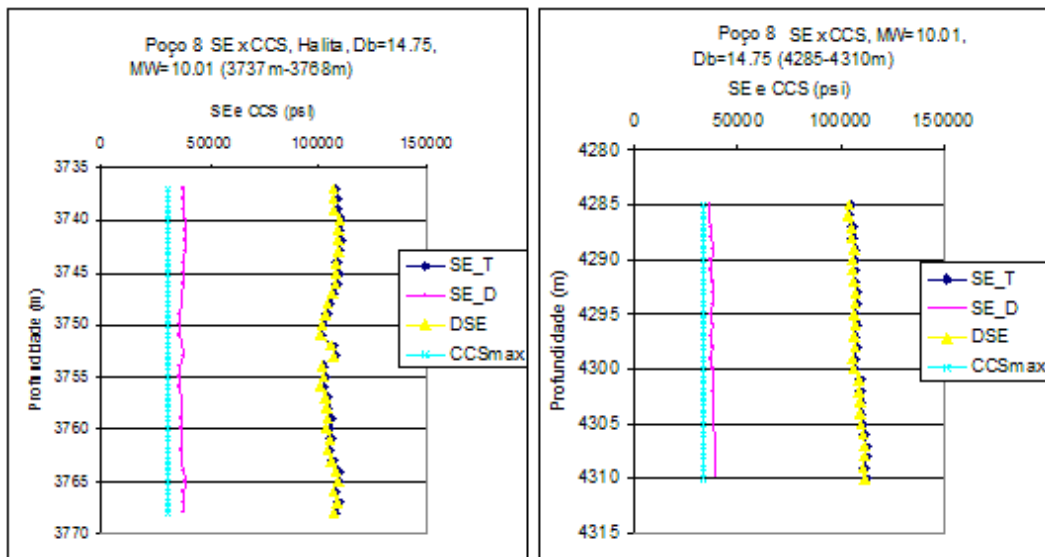


Figura A55: curva SE x CCS para os trechos do Poço 8.

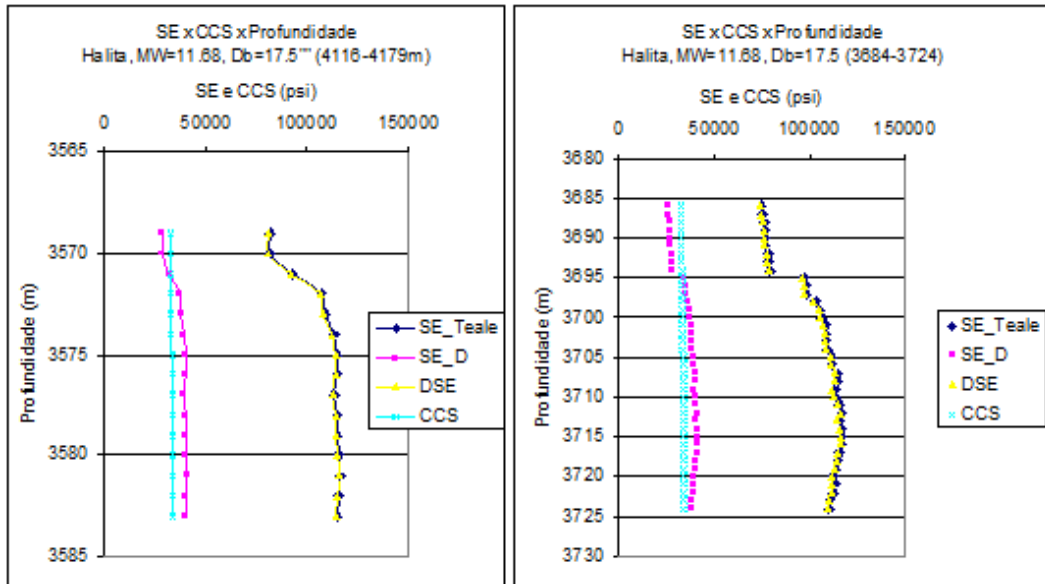


Figura A56: curva SE x CCS para os trechos do Poço 7.

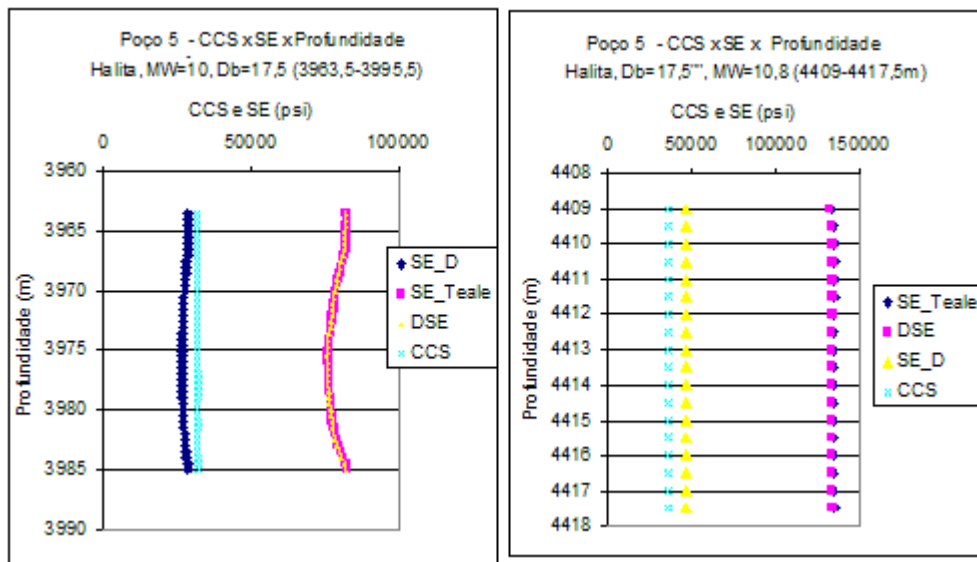


Figura A57: curva SE x CCS para os trechos do Poço 5.

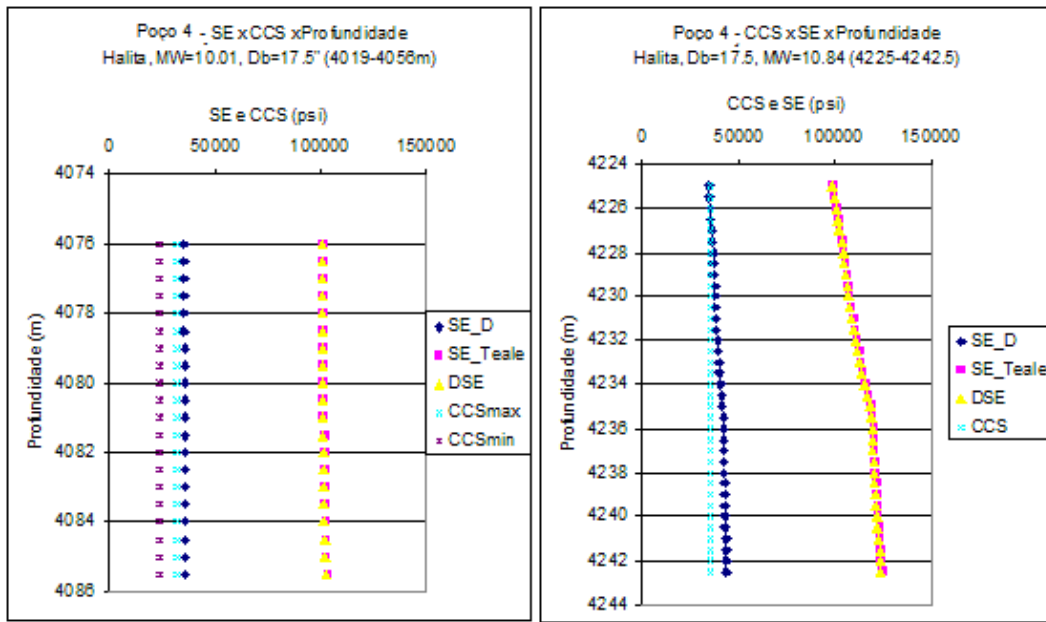
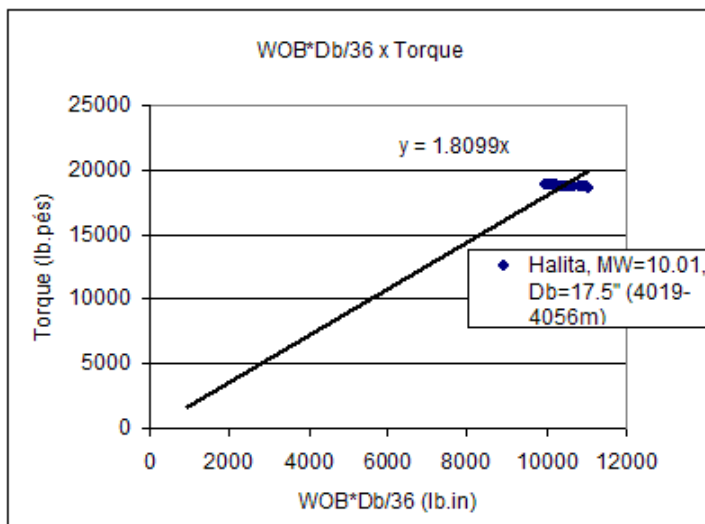
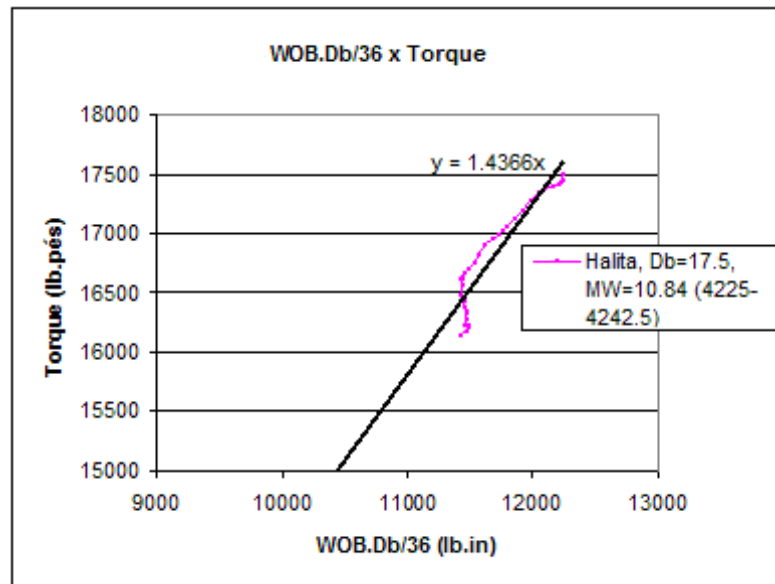


Figura A58: curva SE x CCS para os trechos do Poço 4.

A.11 Curvas T x WOB.Db/36 para trechos dos poços

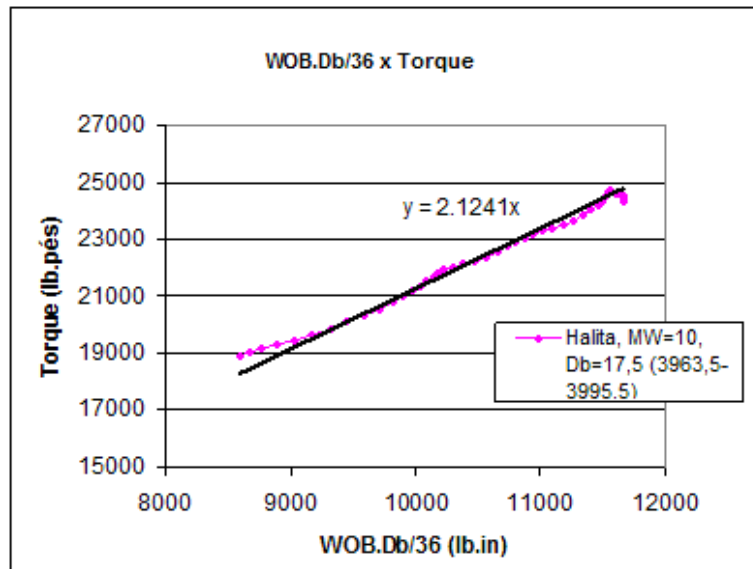


(a)

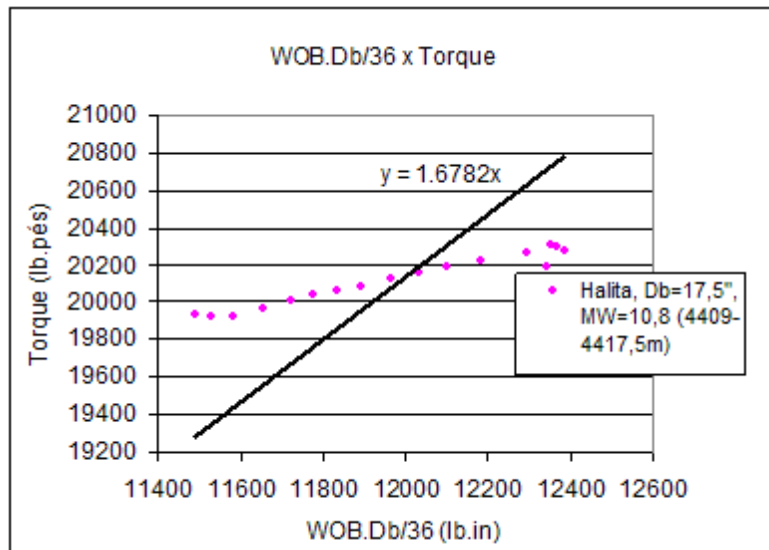


(b)

Figura A59: curva T x WOB.Db/36 para os trechos do Poço 4.

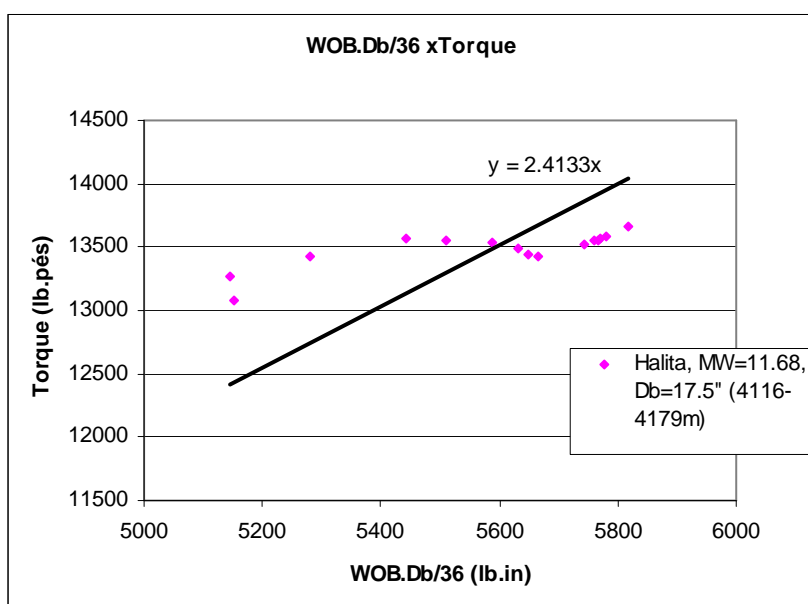


(a)

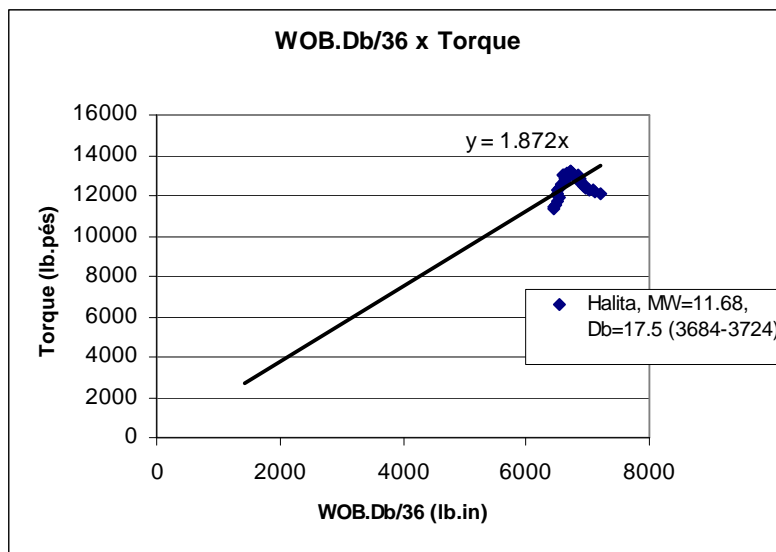


(b)

Figura A60: curva T x WOB.Db/36 para os trechos do Poço 5.

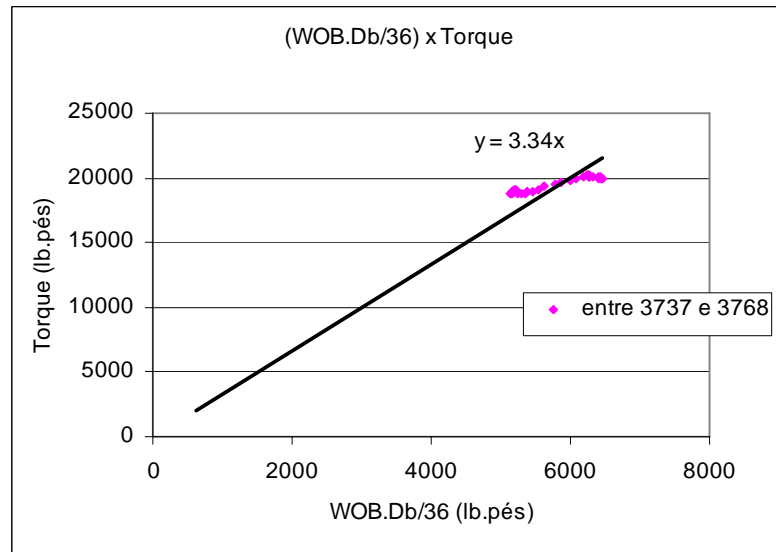


(a)

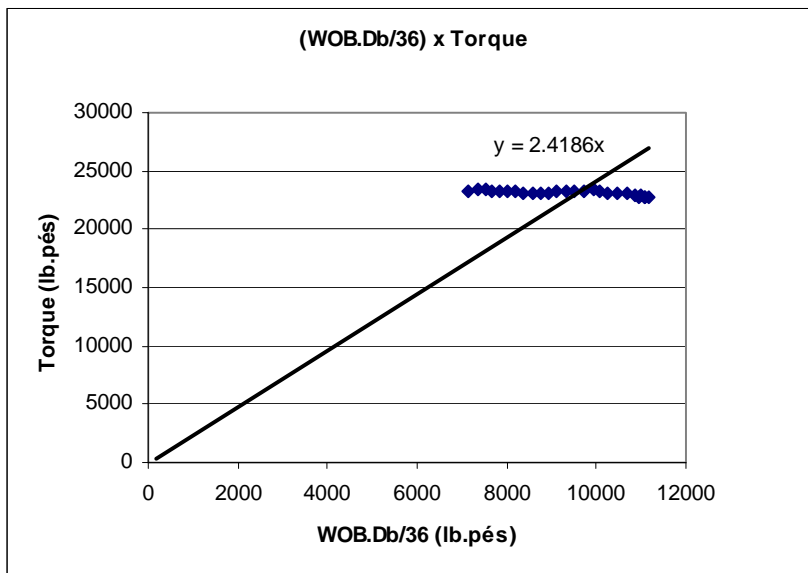


(b)

Figura A61: curva T x WOB.Db/36 para os trechos do Poço 7.

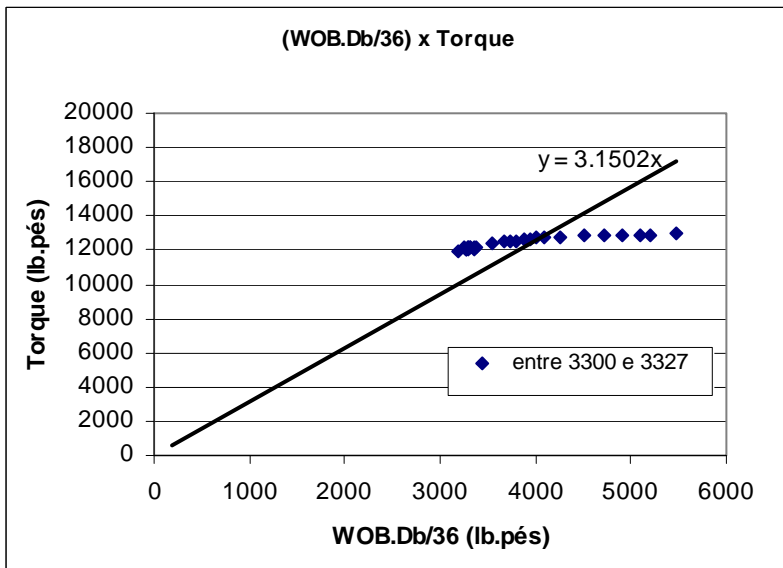


(a)

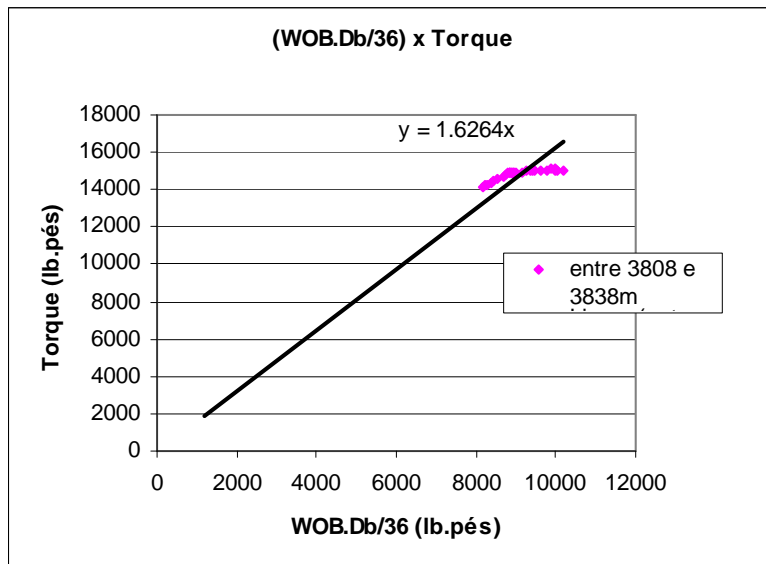


(b)

Figura A62: curva T x WOB.Db/36 para os trechos do Poço 8.

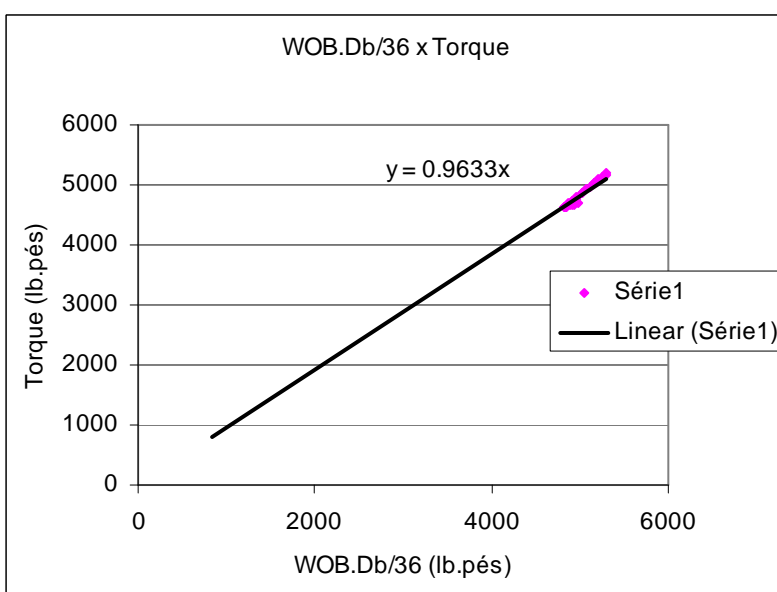


(a)

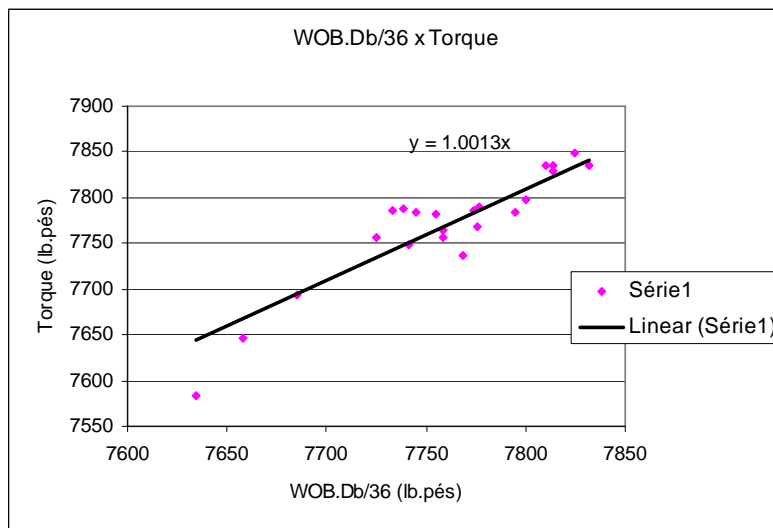


(b)

Figura A63: curva T x WOB.Db/36 para os trechos do Poço 9.

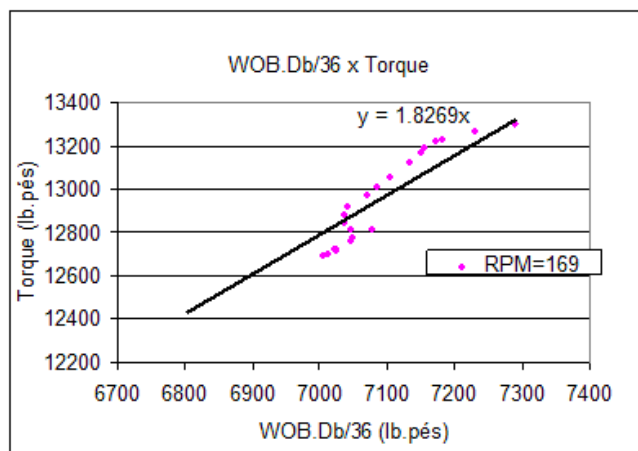


(a)

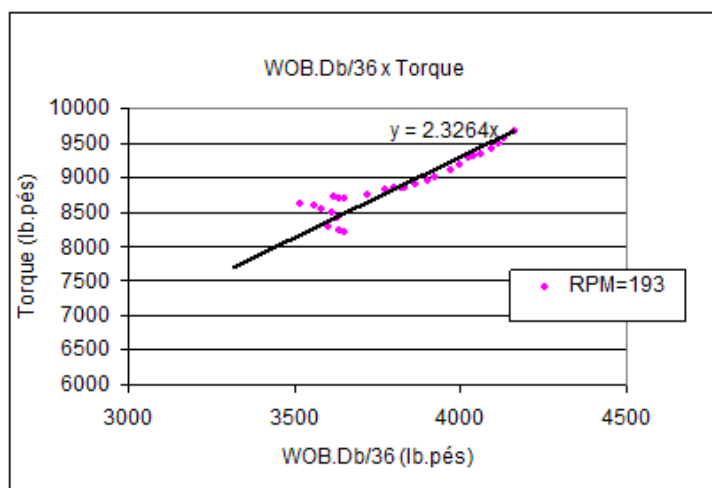


(b)

Figura A64: curva T x WOB.Db/36 para os trechos do Poço 10.



(a)



(b)

Figura A65: curva T x WOB.Db/36 para os trechos do Poço 2.